



# Vorlesung "Allgemeine Meteorologie"

**Prof. Michael Kunz** 

#### Kapitel 7: Einführung in die Dynamik der Atmosphäre



# Letzte Vorlesung...

■ Bewegungsgleichungen: Impulsbilanz, für x, y, z-Richtung

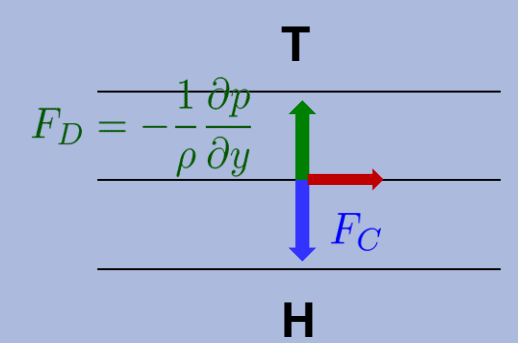
$$\frac{d\vec{v}}{dt} = -\frac{1}{\rho}\vec{\nabla}p - f\vec{k} \times \vec{v} - g\vec{k} + \vec{a}_R$$

- Skalenanalyse: Abschätzung Größenordnung Terme Bewegungs-Gleichungen; vereinfachte Balancen
- Großräumig (z.B. Hoch- / Tiefdruckgebiete)
  - vertikal: Gleichgewicht zwischen Schwere- und Druckgradientbeschleunigung
     hydrostatische Approximation

 $\frac{\partial p}{\partial z} = -\rho g$ 

- -horizontal: Gleichgew. zwischen Druckgradient- und Coriolisbeschleunigung
   geostrophischer Wind
- $v_g = \frac{1}{\rho f} \frac{\partial p}{\partial x} \quad u_g = -\frac{1}{\rho f} \frac{\partial p}{\partial y}$

- Eigenschaften geostrophischer Wind:
  - → beschleunigungsfrei, parallel zu geradlinigen Isobaren; proportional zum Druckgradient
  - → nimmt bei konst. Druckgradienten (= Coriolisbeschl. konstant) Richtung Äquator zu da (da sin φ abnimmt, muss *Geschwindigkeit* zunehmen);



#### Agenda heute...

#### 7 Einführung in die Dynamik der Atmosphäre

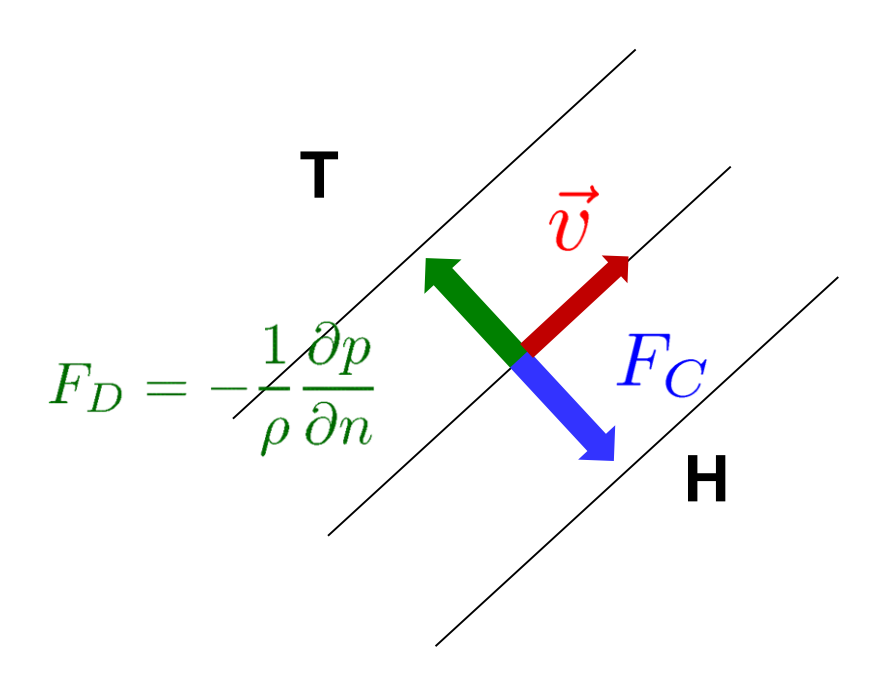
- 7.1 Newtonsche Axiome
- 7.2 Kräfte/Beschleunigungen in der Atmosphäre
  - 7.2.1 Druckgradient-Beschleunigung
  - 7.2.2 Schwere-Beschleunigung
  - 7.2.3 Zentrifugal-Beschleunigung
  - 7.2.4 Reibung
  - 7.2.5 Coriolis-Beschleunigung
- 7.3 Bewegungsgleichungen
- 7.4 Skalenanalyse und vereinfachte Balancen
  - 7.4.1 Geostrophischer Wind
  - 7.4.2 Thermischer Wind
  - 7.4.3 Gradientwind
  - 7.4.4 Zyklostrophischer Wind



Für beliebige Orientierungen: Betrag des geostrophischen Winds

$$V_g = \sqrt{u_g^2 + v_g^2} \Rightarrow V_g = -\frac{1}{\rho f} \frac{\partial p}{\partial n}$$

mit: 
$$\frac{\partial p}{\partial n} = \sqrt{\left(\frac{\partial p}{\partial x}\right)^2 + \left(\frac{\partial p}{\partial y}\right)^2}$$



#### **Beispiel**

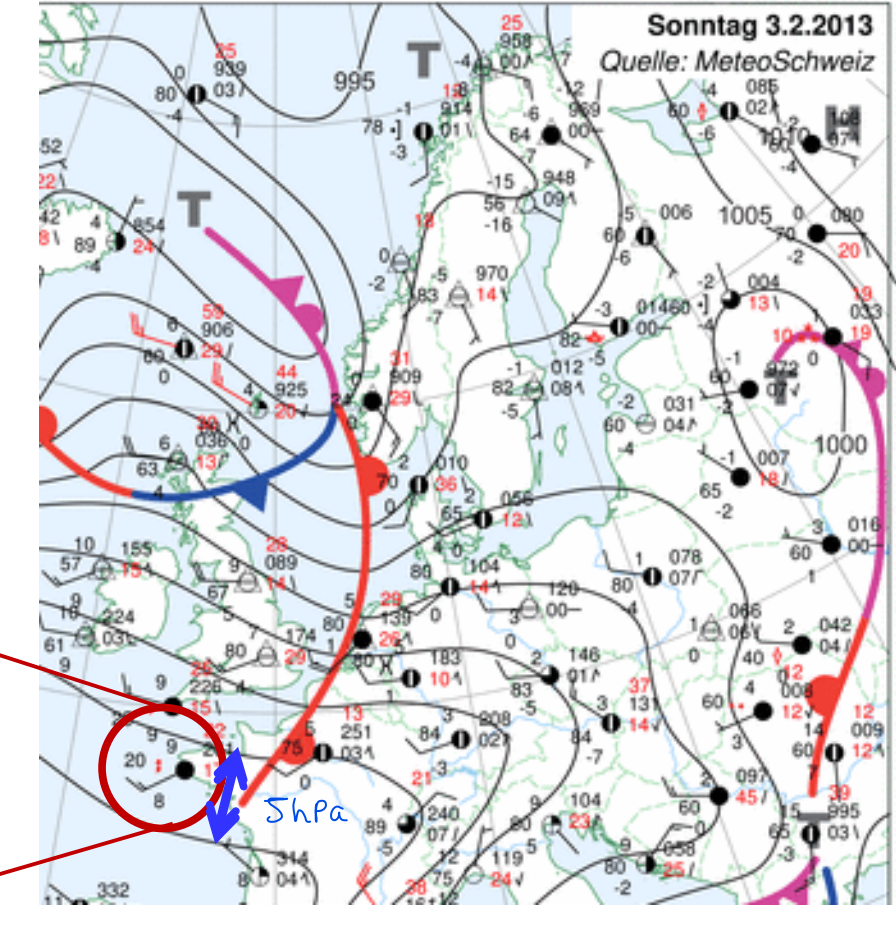
Abschätzung Druckgradient:

$$\frac{\partial p}{\partial n}\approx\frac{\Delta p}{\Delta n}\approx\frac{5\ hPa}{4^\circ}\approx\frac{500\ Pa}{450.000\ m}$$
 
$$\rho\approx1,2\ kg\ m^{-3},f=10^{-4}\ s^{-1} \Rightarrow \text{Coidisparameter}$$

Betrag geostrophischer Wind

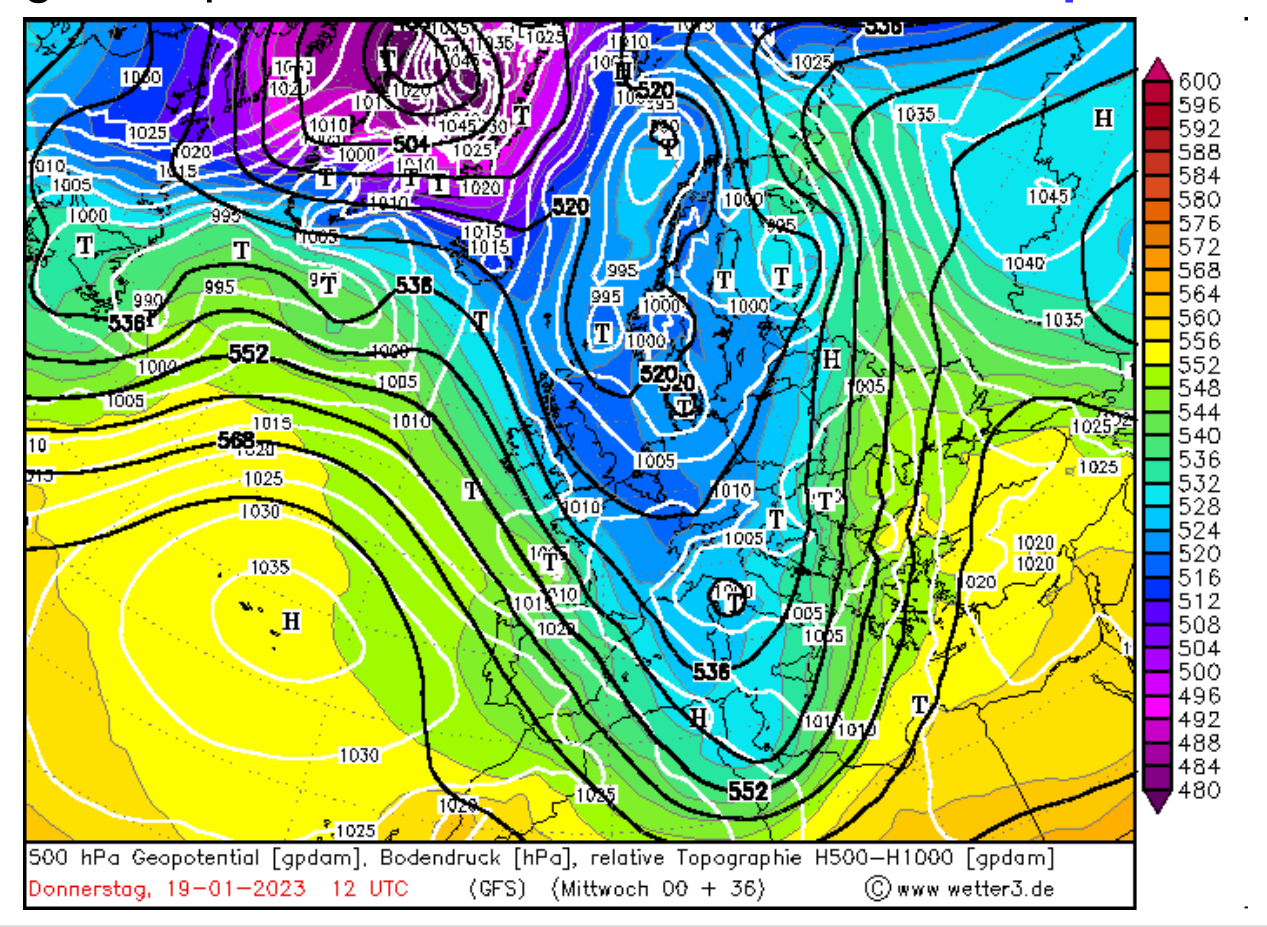
$$V_g = \frac{1}{1,2} \cdot 10^4 \frac{500}{450000} \ m \ s^{-1} = 9,3 \ m \ s^{-1}$$

$$V_g = -\frac{1}{\rho f} \frac{\partial p}{\partial n}$$



#### **Geostrophischer Wind als Funktion des Geopotentials**

- Höhenwetterkarten: Darstellung Geopotential auf einer Druckfläche
- Sinnvoll: Angabe geostrophischer Wind als Funktion des Geopotentials





#### Geopotential und geopotentielle Höhe (siehe auch VL 1)

■ Geopotential  $\phi$  (m² s⁻²): Arbeit pro Masseneinheit (ME), die gegen Schwerfeld (= Gravitation + Zentrifugalkraft) zu verrichten ist, um ME von z = 0 auf Höhe z zu heben (~ potentielle Energie  $E_{pot} = mgh$ )

$$\phi = gz$$

- Da g von geographischer Breite abhängt  $\Rightarrow$  Normierung mit  $g_{\theta}$  (in 45°N) = 9.8 m s<sup>-2</sup>; damit Isofläche mit gleicher Energie
  - → Definition geopotentielle Höhe Z
  - → Einheit: geopotentielle Meter (gpm); in Wetterkarten wird als Einheit oft geopot. Dekameter (gpdam) verwendet

$$Z = \frac{\phi(z)}{g_0} = \frac{1}{g_0} \int_0^z g \, dz$$

Geopotentielle Höhe entspricht der normierten Arbeit und ist ähnlich zur geometrischen Höhe (in 45°N/S ≡ geometrische Höhe)



#### Geostrophischer Wind als Funktion des Geopotentials

- Geostrophischer Wind als Funktion des horizontalen Druckgradienten
- **Definition Geopotential**
- Hydrostatische Approximation
- Geostrophischer Wind als Funktion des Geopotentials (keine Dichte)
- ...als Funktion des geopotentiellen Meters  $Z = \frac{\phi}{z} \Leftrightarrow \phi = Zg_0$
- ...und in Normalenrichtung

$$u_g = -\frac{1}{\rho f} \frac{\partial p}{\partial y} \quad v_g = \frac{1}{\rho f} \frac{\partial p}{\partial x}$$

$$\phi = gz \implies \partial \phi = g \partial z$$
$$\partial p = -\rho g \partial z = -\rho \partial \phi$$

$$\partial p = -\rho g \partial z = -\rho \partial \phi$$

$$u_g = \frac{1}{f} \frac{\partial \phi}{\partial y}$$
  $v_g = -\frac{1}{f} \frac{\partial \phi}{\partial x}$ 

$$u_g = \frac{g_0}{f} \frac{\partial Z}{\partial y} \quad v_g = -\frac{g_0}{f} \frac{\partial Z}{\partial x}$$

$$V_g = \frac{g_0}{f} \frac{\partial Z}{\partial n}$$



#### **Beispiel**

Abschätzung Gradient Geopotential:

$$\frac{\partial Z}{\partial n} \approx \frac{\Delta Z}{\Delta n} \approx \frac{320 \text{ gpm}}{3,5^{\circ}} \approx \frac{320 \text{ gpm}}{380 \text{ km}}$$
$$g_0 = 9,8 \text{ m s}^{-2}, f = 10^{-4} \text{ s}^{-1}$$

Betrag geostrophischer Wind

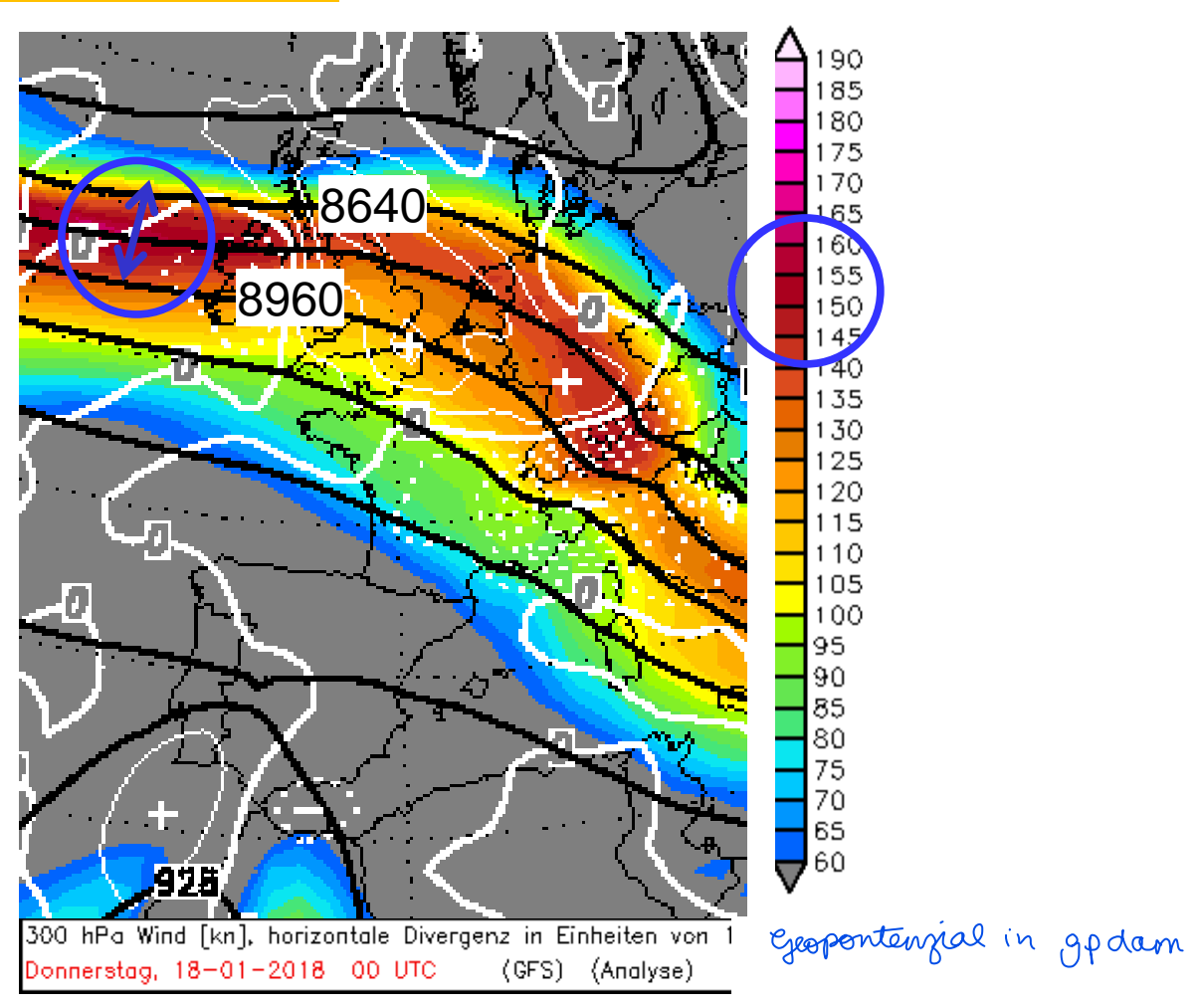
$$V_g = 9.8 \cdot 10^4 \frac{320}{380000} \text{ m s}^{-1}$$

$$= 82.0 \text{ m s}^{-1}$$

$$= 160 \text{ kn} \quad \checkmark \rightarrow \text{and Karle is .1.55 Kinster}$$

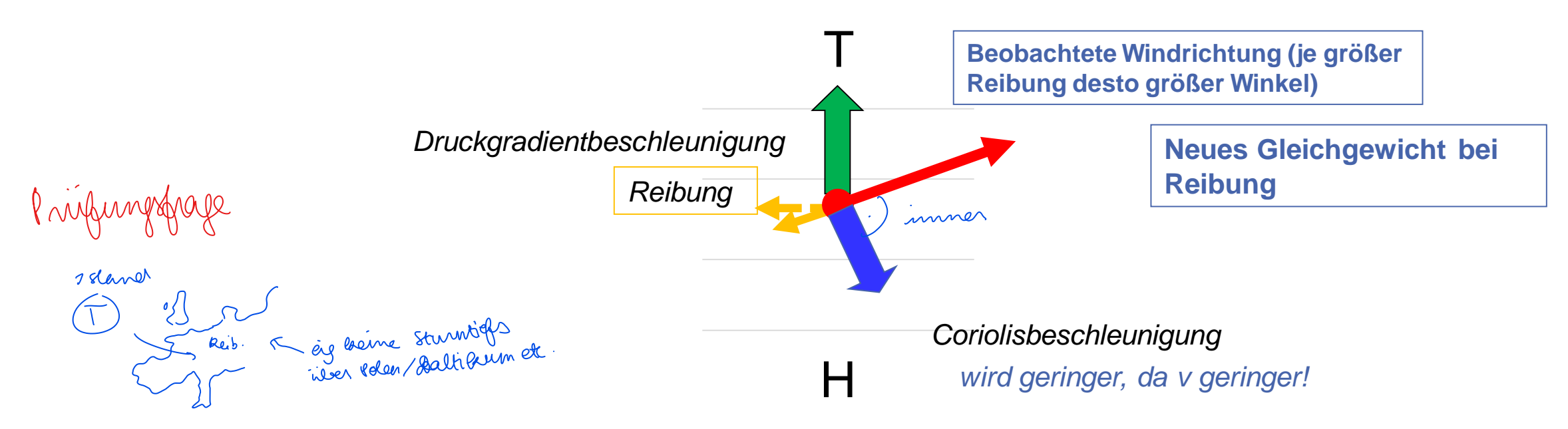
außerhalb der Reibungsschicht (hoch genug)

$$V_g = \frac{g_0}{f} \frac{\partial Z}{\partial n}$$

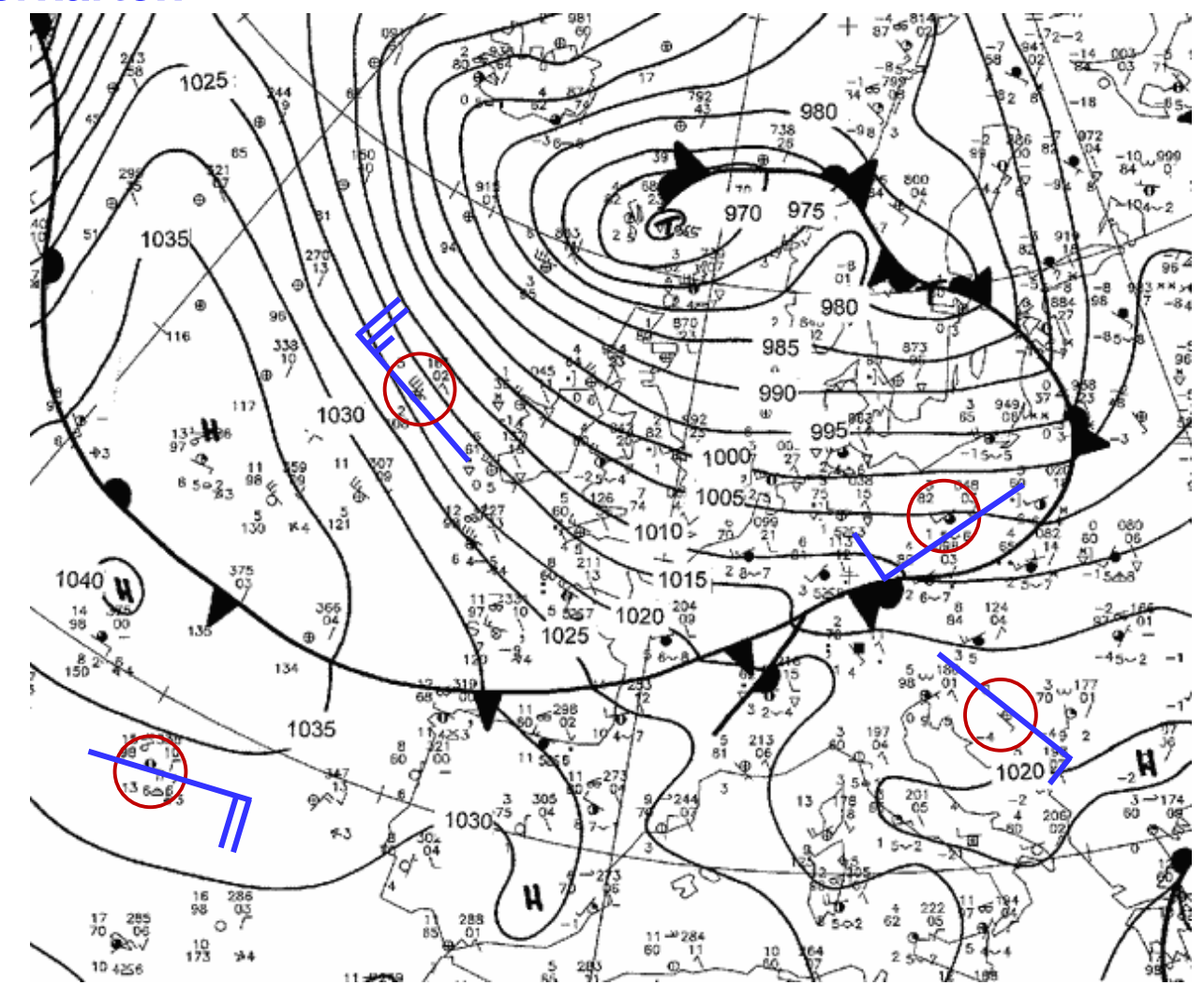


$$\vec{v}_g = \frac{1}{\rho f} \vec{k} \times \vec{\nabla}_h p$$

- Einfluss von Reibung
  - Reibung reduziert Windgeschwindigkeit und damit Corioliskraft
  - Ageostrophische Windkomponente in Tiefdruckzentrum hinein
    - Strömungskonvergenz am Boden
    - Führt prinzipiell zum Auffüllen eines Tiefs
  - Richtungsablenkung in planetarer Grenzschicht um bis zu 45°



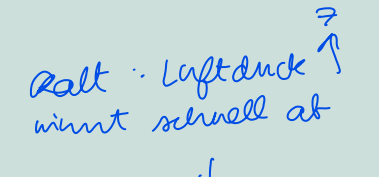
#### Windfelder in Wetterkarten

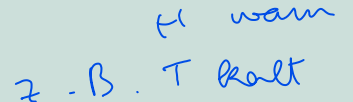




Druckabrahme stöne -> wegen T

# Fragen über Fragen...





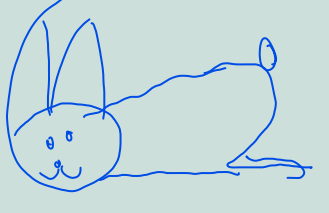
Wie ändert sich der horizontale Druckgradient mit der Höhe bei einem horizontalen Temperaturgradienten?

Wie ändert sich der geostrophische Wind mit der Höhe, wenn im Tief die Kaltluft, im Hoch die Warmluft ( & wekgrad. verstärkt) numt zu

Wie nennt man die daraus resultierenden

Höhenwinde?

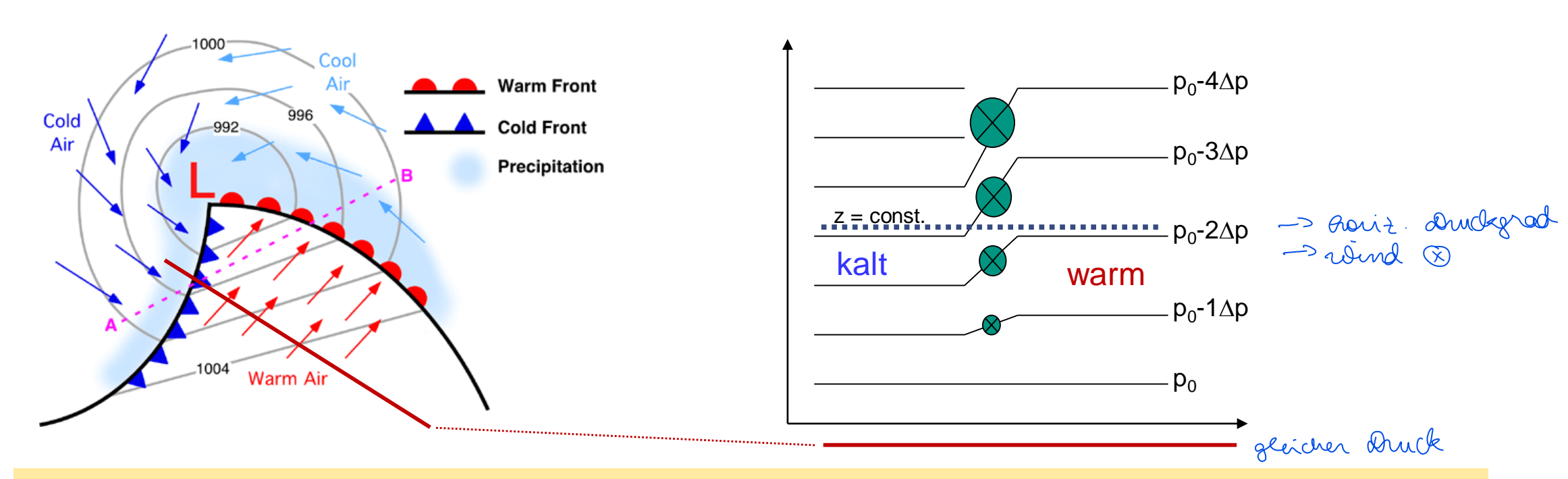




Was ist, wenn neben einem horizontalen Druckgradient auch ein horizontaler Temperaturgradient vorherrscht (z.B. im Bereich eines Bodentiefs)?

horizontal

vertikal (Idealisierung: kein Druckgradient am Boden)



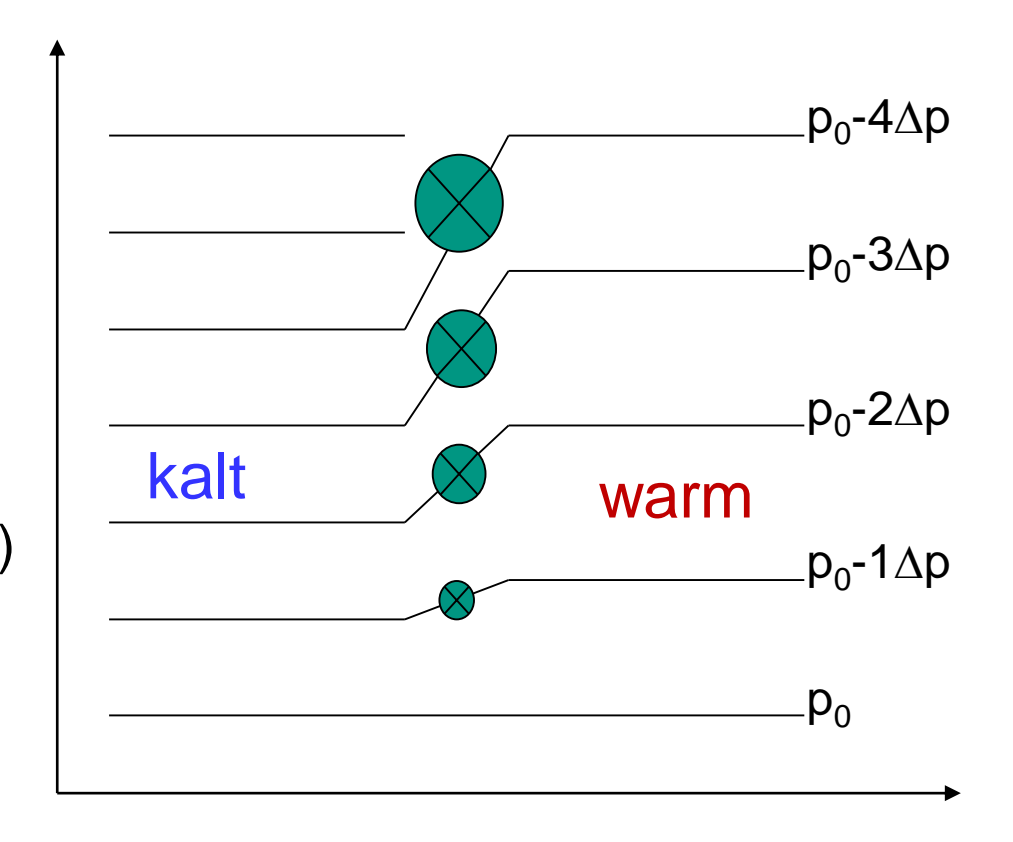
- → In Gebieten mit einem horizontalen Temperaturgradienten ändert sich der horizontale Druckgradient mit der Höhe
  - ⇒ Änderung des geostrophischen Winds mit der Höhe: thermischer Wind



Differenzenvektor des geostrophischen Winds: Thermischer Wind

$$V_t = \frac{\partial V_g}{\partial z} \Delta z \approx -\frac{g}{Tf} \frac{\partial T}{\partial n} \Delta z$$

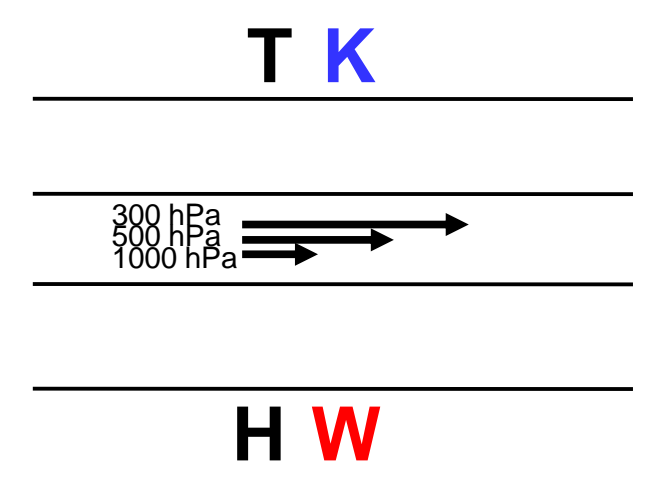
- proportional zum horizontalen Temperaturgradienten
- je größer der horizontale Temperaturgradient, umso stärker nimmt die Windgeschwindigkeit mit der Höhe zu (parallele Isobaren / Isotherme!)



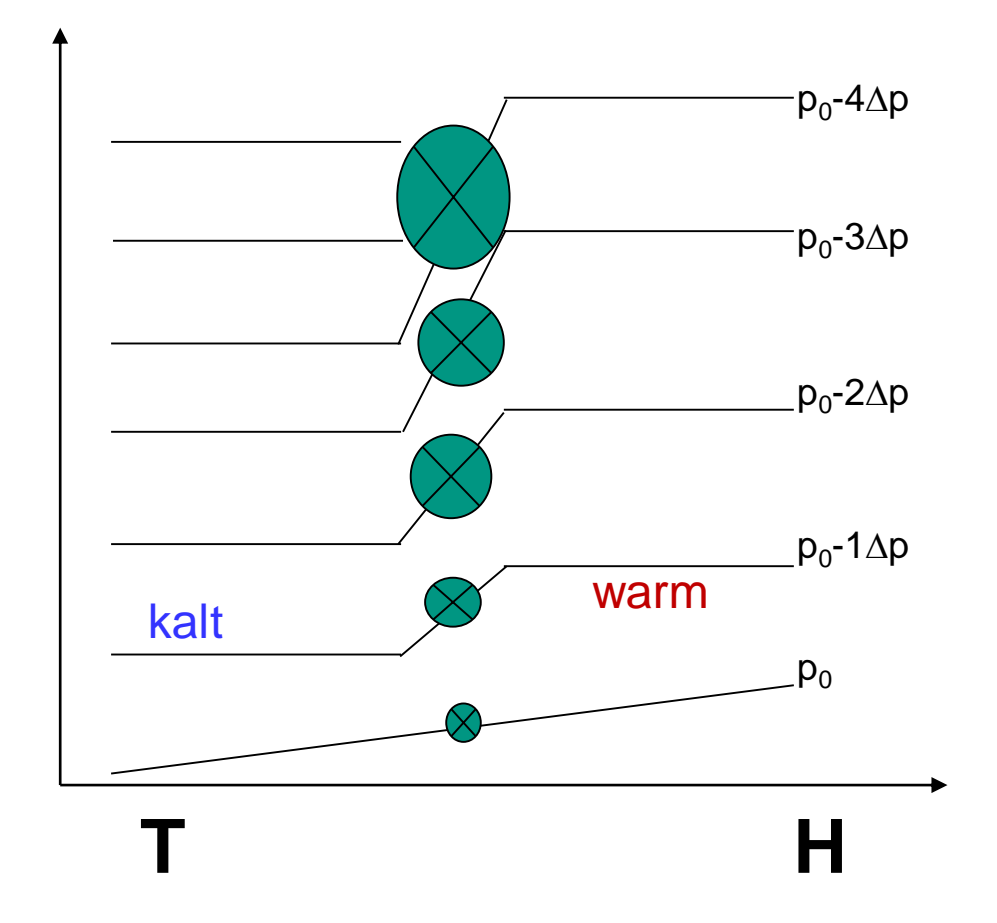


14

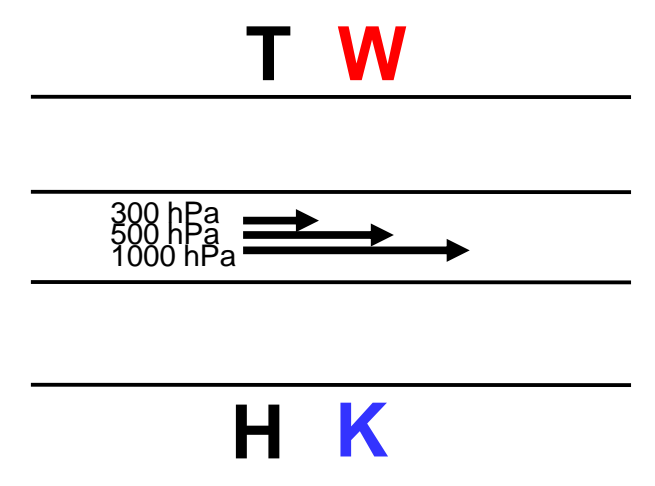
Windänderung abhängig von Anordnung Hoch / Tief relativ zur Temperatur



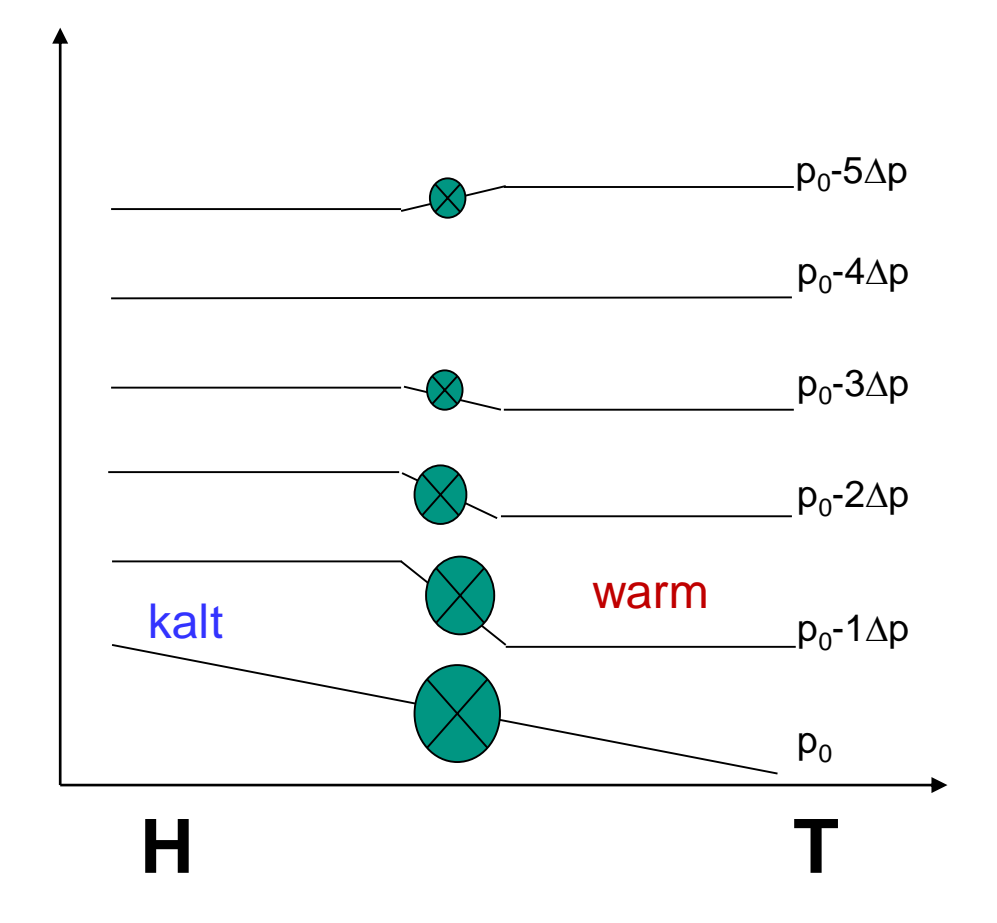
Zunahme Windgeschwindigkeit mit der Höhe Windrichtung bleibt gleich



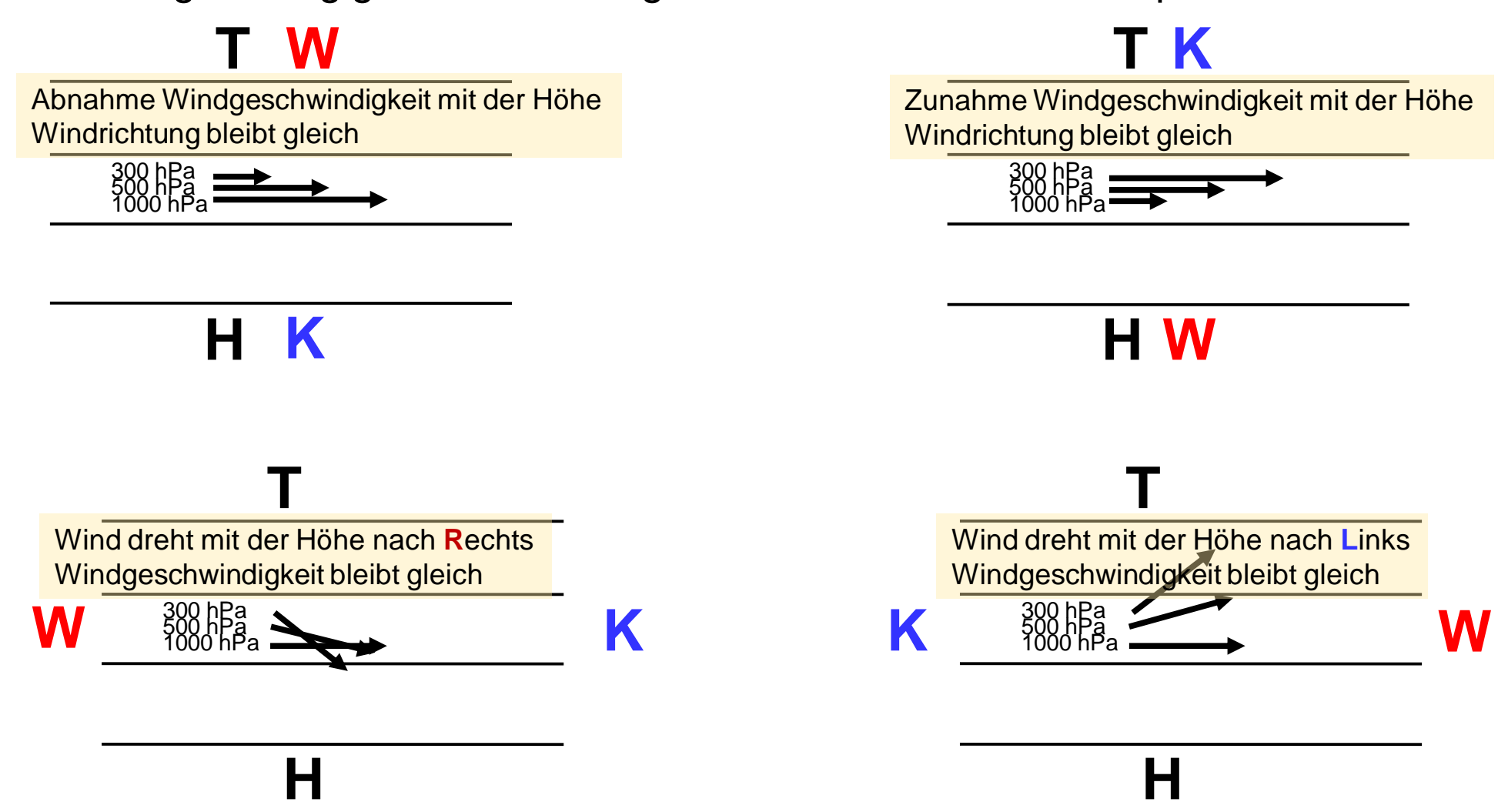
Windänderung abhängig von Anordnung Hoch / Tief relativ zur Temperatur



Abnahme Windgeschwindigkeit mit der Höhe Windrichtung bleibt gleich

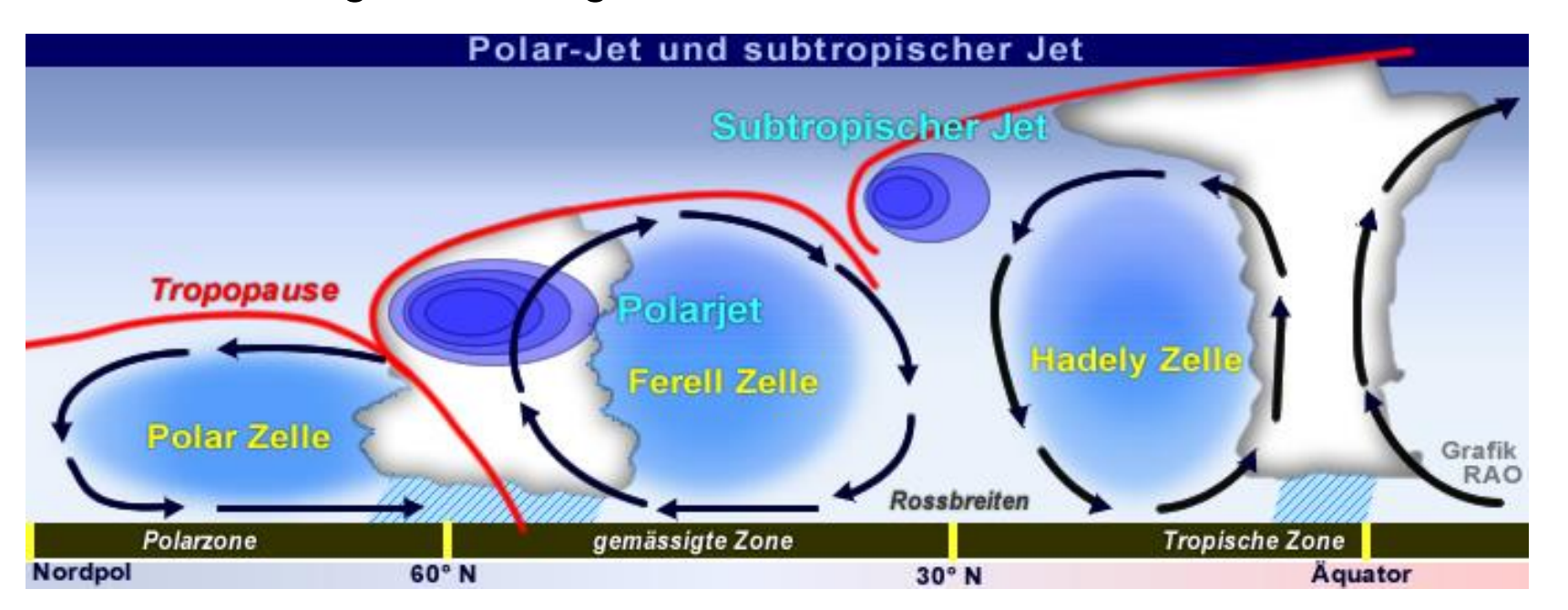


Windänderung abhängig von Anordnung Hoch / Tief relativ zur Temperatur



#### 7.5.3 Thermischer Wind: Jetstream

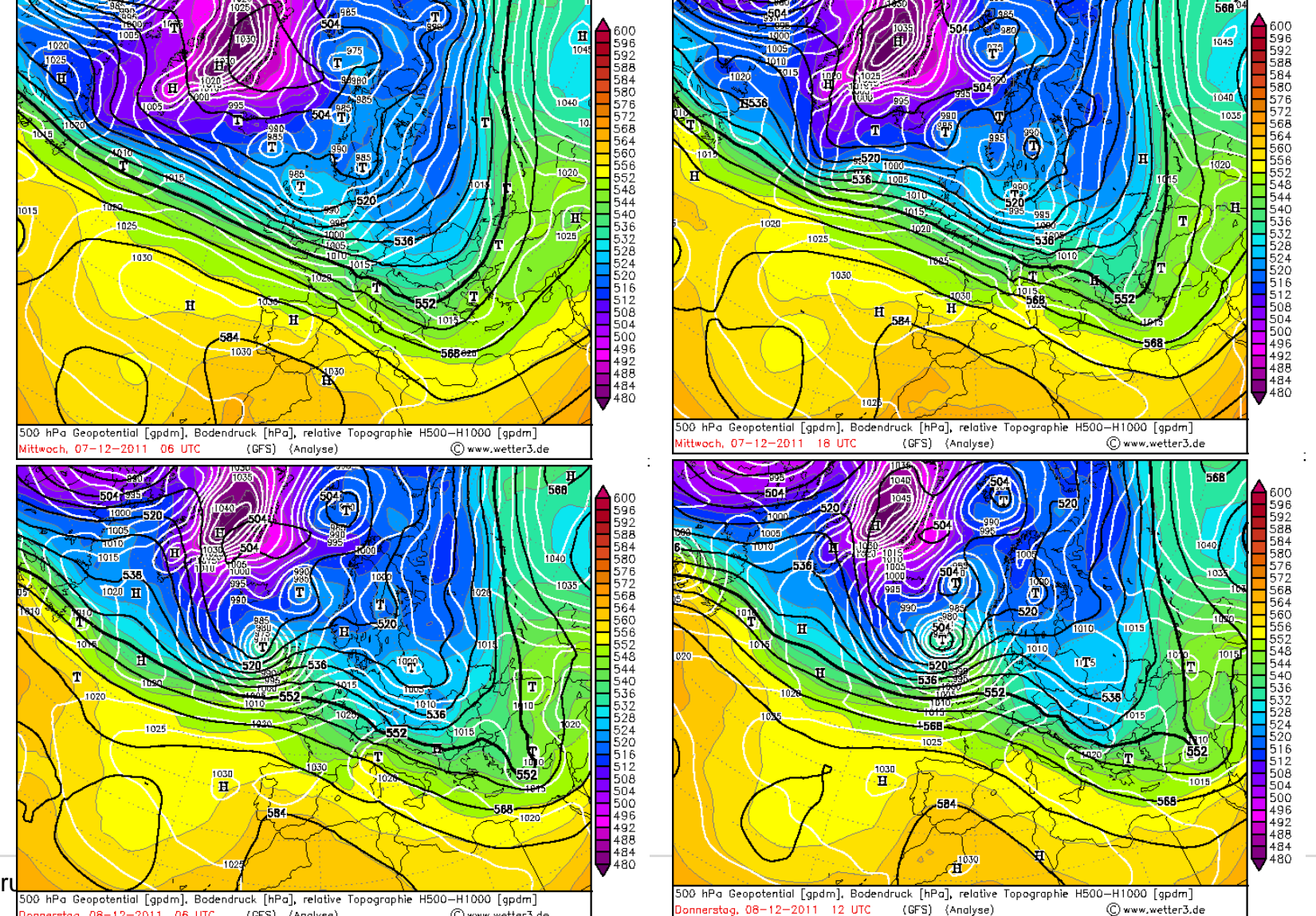
- Frontalzone: begrenztes Gebiet mit starker Temperaturdifferenz (horizontal)
  - ⇒ Starkwindband (Jetstream) in Höhe Tropopause (~200 hPa)
- Jetstream wichtig für
  - Steuerung Tiefdruckgebiete
  - Zyklogenese: Entstehung Tiefdruckgebiete





# 7.5.3 Thermischer Wind: Jetstream

■ Beispiel Sturmtief Friedhelm (07.12.2011)





Donnerstag, 08-12-2011 06 UTC (GFS) (Analyse)

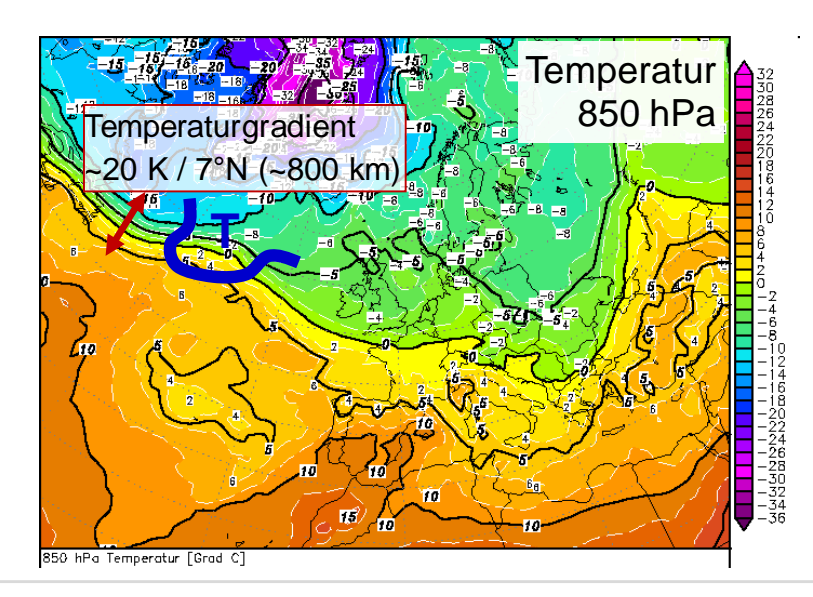
#### 7.5.3 Thermischer Wind: Jetstream

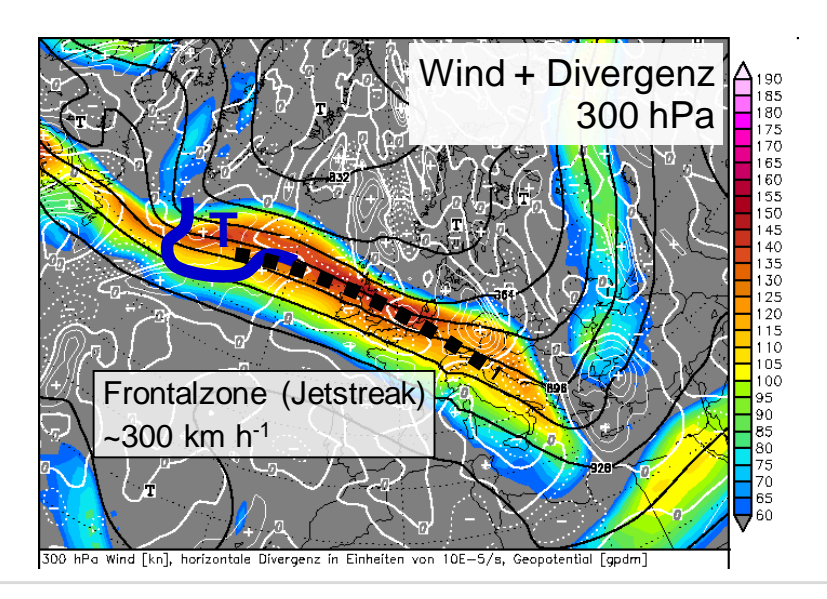
- Beispiel Sturmtief Friedhelm (07.12.2011)
  - Abschätzung Windgeschwindigkeit in 300 hPa bei Temperaturgradient 20 K/800 km

$$g = 9.81 \text{ m s}$$
  
 $f \approx 10^{-4} \text{ s}^{-1}$   
 $T \approx 288 \text{ K}$   
 $\Delta z = 10 \text{ km}$ 

$$V_t \approx \frac{g}{\overline{T}f} \frac{\Delta T}{\Delta n} \Delta z$$
  $V_t = \frac{\partial V_g}{\partial z} \Delta z = -\frac{g}{Tf} \frac{\partial T}{\partial n} \Delta z$ 

$$V_t \approx \frac{9,81}{288 \cdot 10^{-4}} \frac{20}{800} 10 \text{ m s}^{-1} = 85 \text{ m s}^{-1}$$







# Fragen über Fragen...

- Wo ist die Windgeschwindigkeit bei gleichem Isobarenabstand größer: im Hoch oder im Tief?
- Was folgt daraus beim Übergang von einem Trog zu einem Rücken (wieder gleicher Isobarenabstand)?
- Kann es in einem Hoch zu großflächigen Windgeschwindigkeiten mit Sturmstärke kommen?

Bewegungsgleichung Horizontalkomponente U (V)

$$\frac{du}{dt} = -\frac{1}{\rho} \frac{\partial p}{\partial x} + 2\Omega v \sin \varphi - 2\Omega w \cos \varphi$$

$$\sim \frac{U}{T} \qquad \sim \frac{1}{\rho} \frac{\Delta P}{L} \qquad \sim f U \qquad \qquad \sim f W$$

$$\frac{10}{10^5} = 10^{-4} \ \frac{10^3}{10^6} = 10^{-3}$$
  $10^{-3}$   $10^{-6}$  m s<sup>-2</sup>

Bez.	Größenord.
U, V	10 m s <sup>-1</sup>
W	10 <sup>-2</sup> m s <sup>-1</sup>
L	10 <sup>6</sup> m
T = L/U	10 <sup>5</sup> s
Н	10 <sup>4</sup> m
ΔΡ	10 <sup>3</sup> Pa
$P_0$	10⁵ Pa
ρ	1 kg m <sup>-3</sup>
2Ω sin φ	10 <sup>-4</sup> s <sup>-1</sup>
$F_{Rx}$ , $F_{Ry}$ , $F_{Rz}$	0 m s <sup>-2</sup>

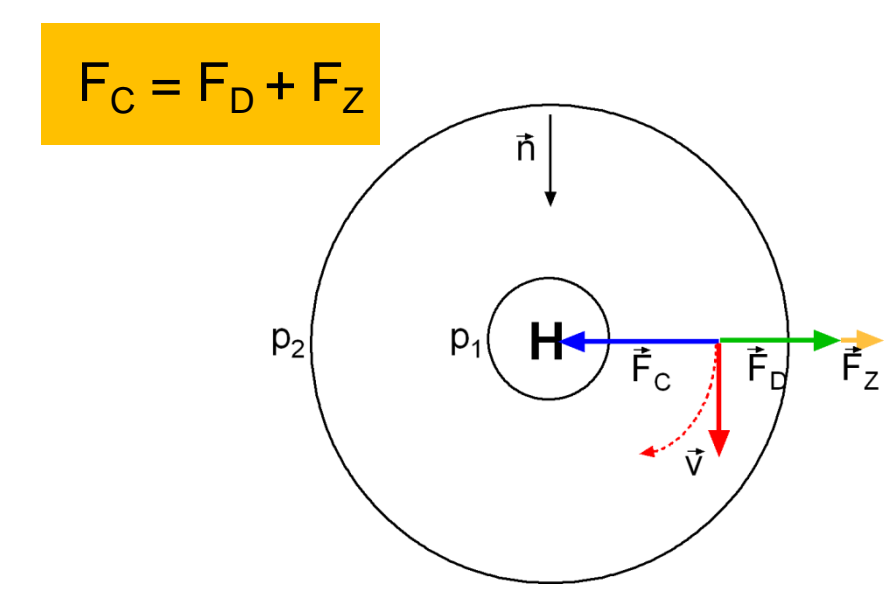
Bei gekrümmten Isobaren (Beschleunigung): Gleichgewicht zwischen

- Druckgradientkraft F<sub>D</sub>
- Corioliskraft F<sub>C</sub>
- Zentrifugalkraft F<sub>z</sub> (horizontal aufgrund Krümmung Isobaren)

- Effekt der Isobarenkrümmung: Gradientwind als Gleichgewicht zwischen
  - Druckgradientkraft F<sub>D</sub>
  - Corioliskraft F<sub>C</sub>
  - Zentrifugalkraft F<sub>z</sub>

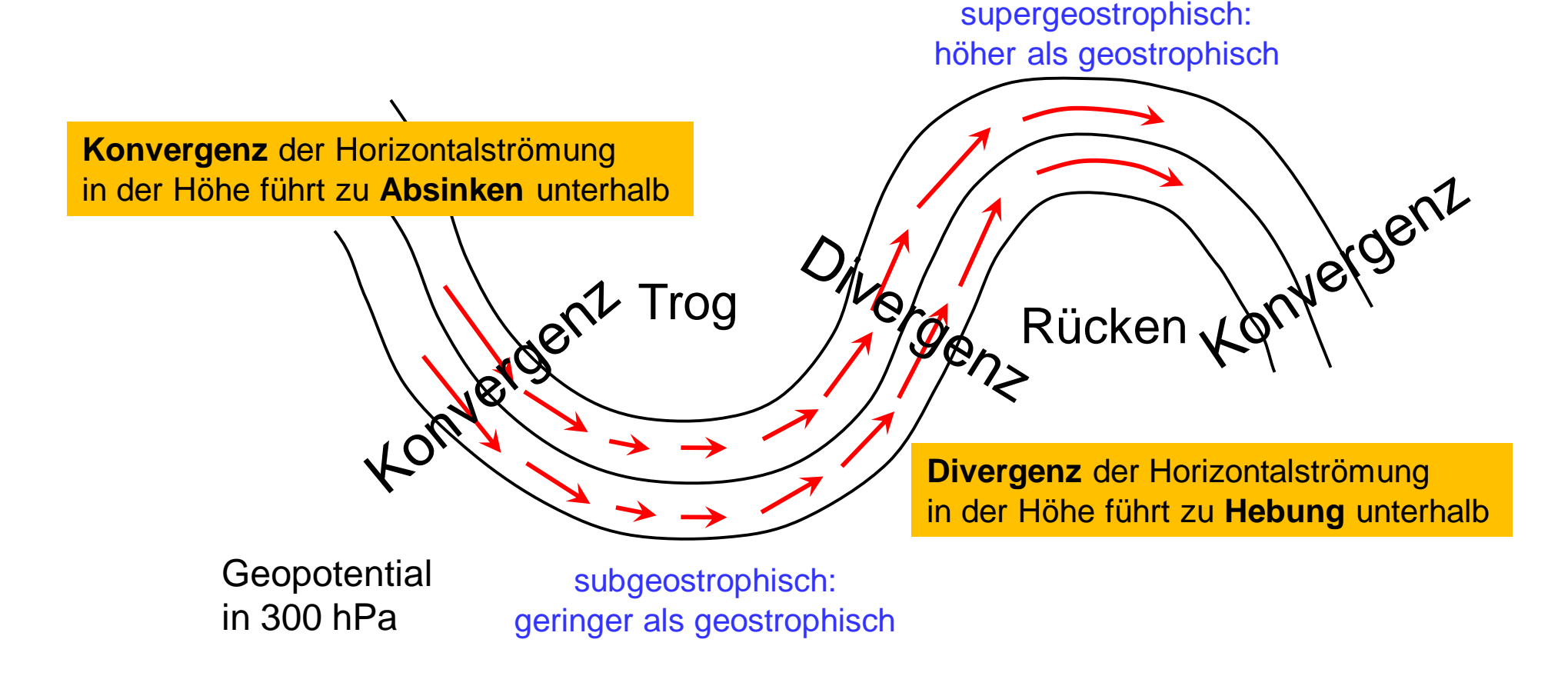
 $F_{C} = F_{D} - F_{Z}$   $p_{2}$   $p_{1}$   $F_{D}$   $F_{C}$   $F_{D}$ 

antizyklonal

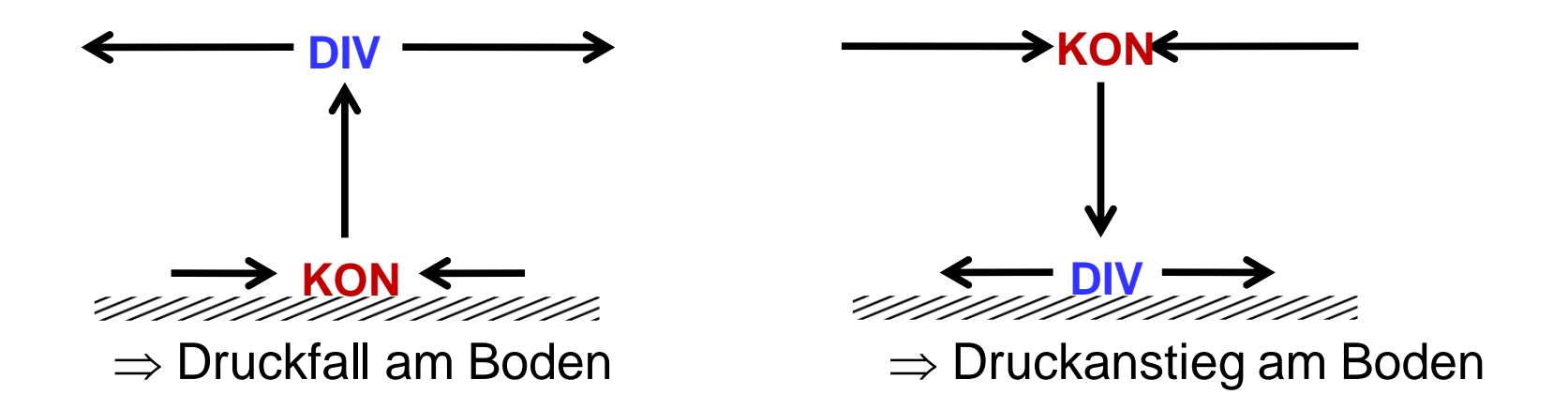


- da F<sub>C</sub> ~ v, muss bei gleichem Druckgradient v<sub>Tief</sub> geringer sein als v<sub>Hoch</sub>
- zyklonal: subgeostrophische; antizyklonal: supergeostrophische Geschw

- Divergenz im Bereich von Rücken / Tröge
  - Annahme: konstanter Druckgradient (Breitenabhängigkeit der Corioliskraft sei vernachlässigbar)

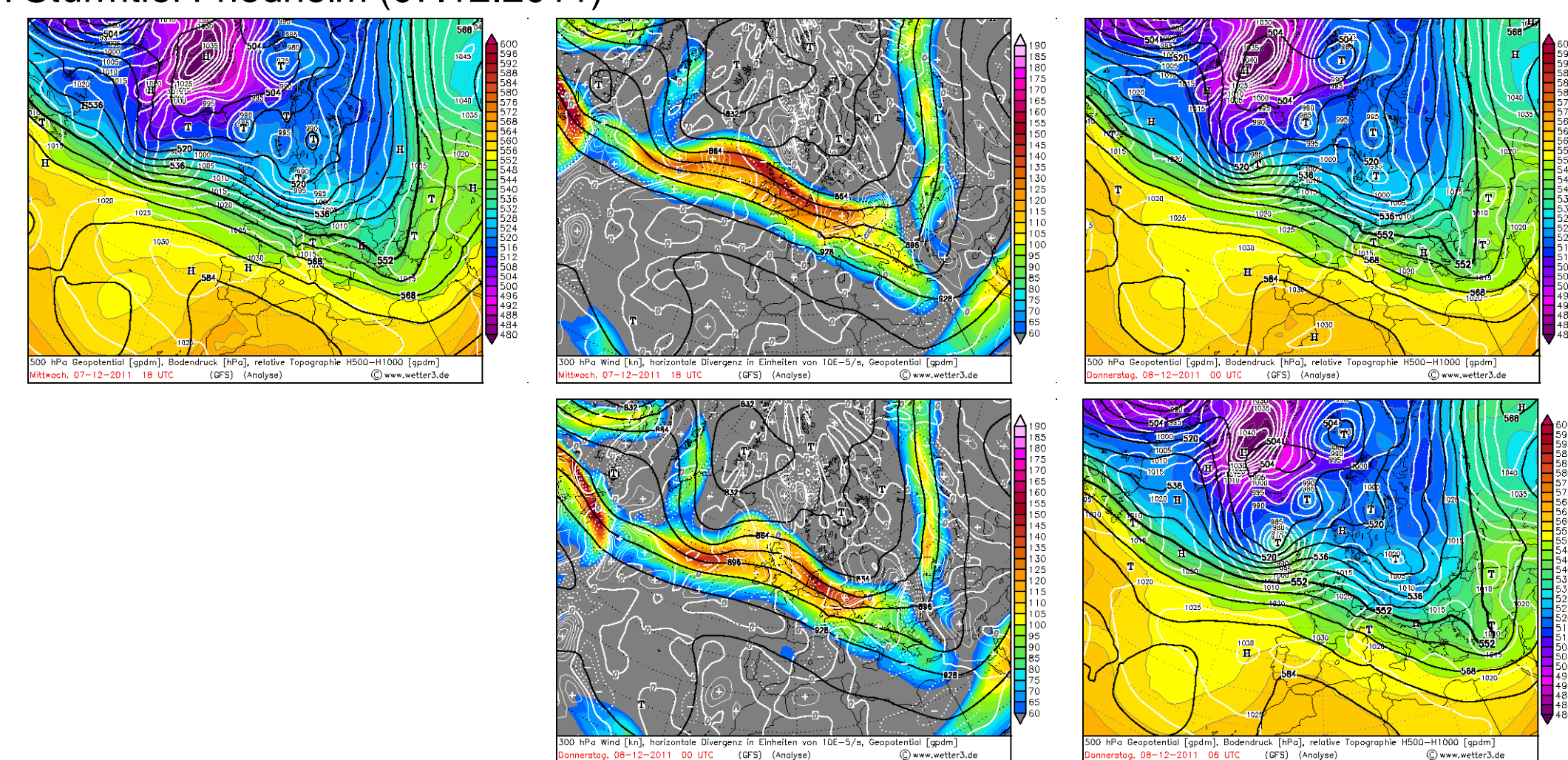


Wenn Divergenz/Konvergenz in der Höhe stärker sind als bodennah:



- → Divergenz / Konvergenz in Höhenströmung ausschlaggebend für
  - Vorzeichen + Stärke Vertikalbewegungen
  - Entwicklung Bodendruckfeld

■ Beispiel Sturmtief Friedhelm (07.12.2011)



# $\frac{du}{dt} = fv_a$

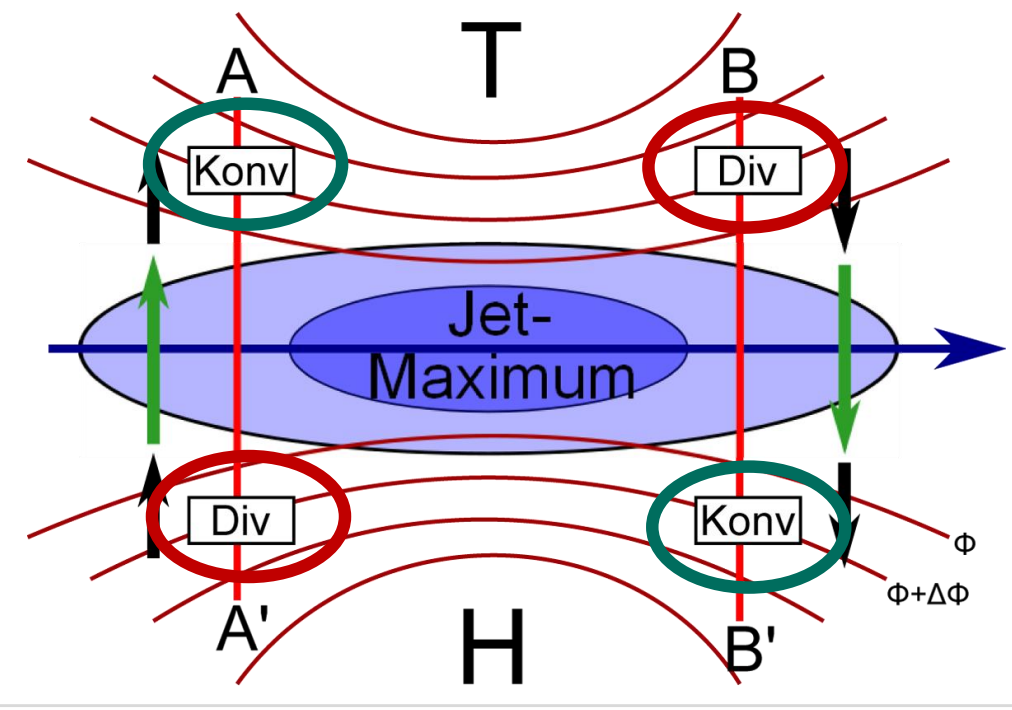
Abbremsen

#### 4-Quadrantenmodell

- Starke positive / negative Beschleunigung im Bereich des Jetstreams
- Annahme: Bewegung auf Druckflächen (Erinnerung: geostrophischer Wind ist beschleunigungsfrei, daher keine Komponente in Gleichung oben)
  - ⇒ Abweichung von geostrophischer Balance
  - $\Rightarrow$  ageostrophischer Wind  $v_a$

Beschleunigung:  $fv_a > 0$ Abbremsen:  $fv_a < 0$ 

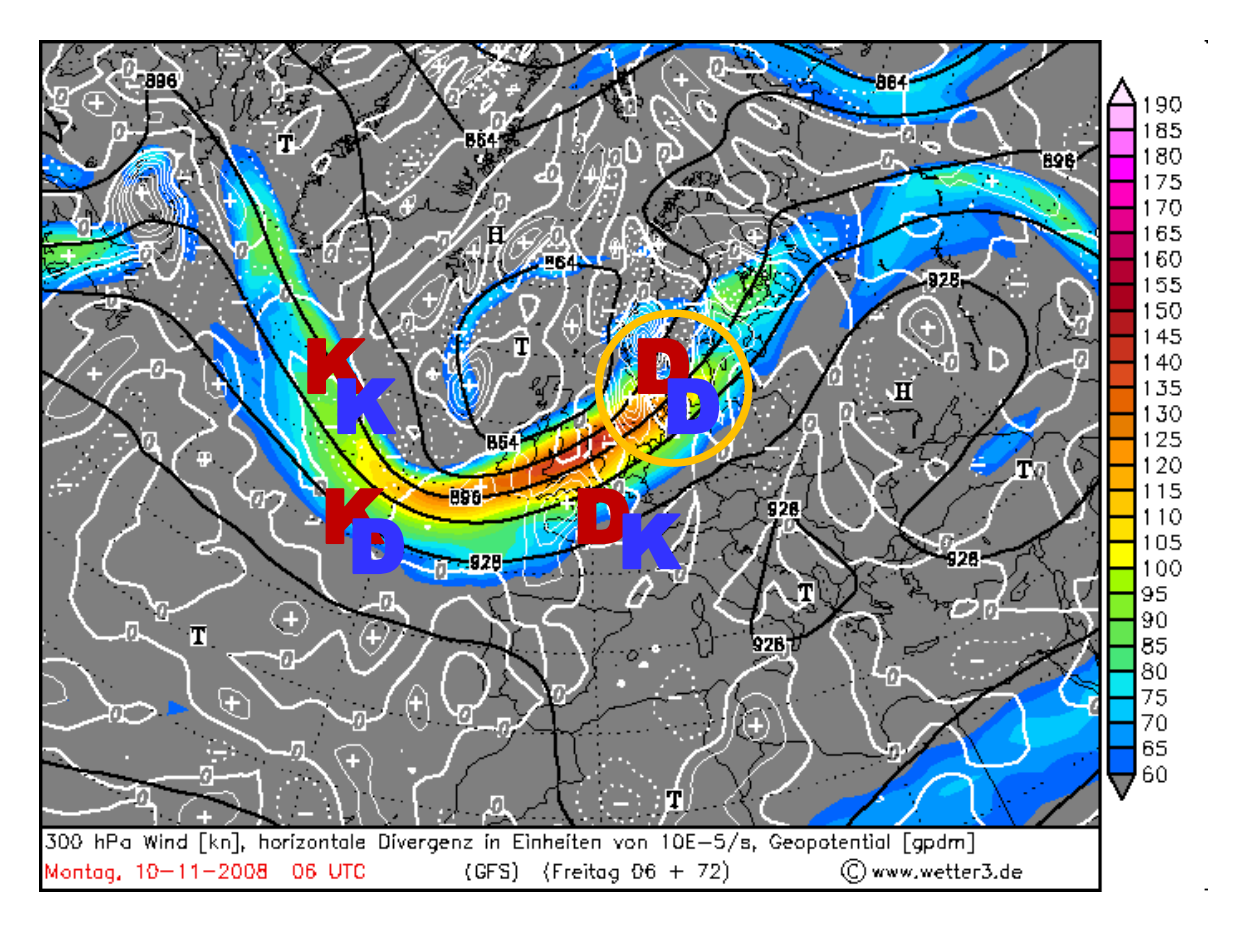
- ⇒ Konvergenz in A und B'
- ⇒ **Divergenz** in B und A'



Beschleunigung

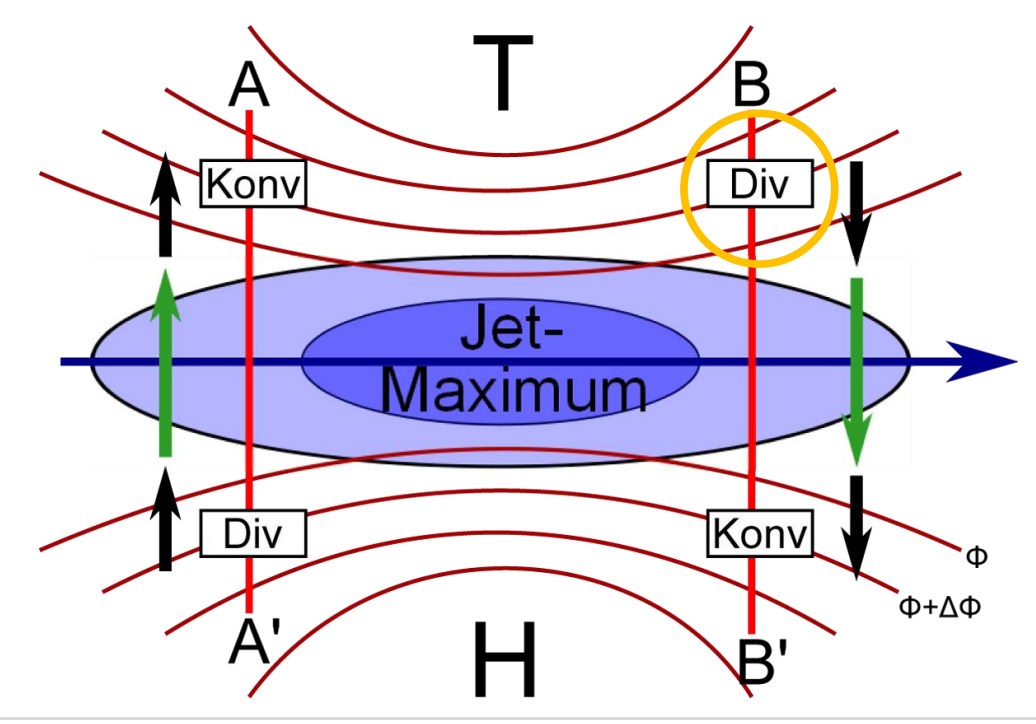


- Reale Strömungen in der Atmosphäre
  - Geschwindigkeitsdivergenz bei gekrümmten Strömungen
  - Richtungsdivergenz im Bereich Starkwindband





Divergenz durch Krümmung (Gradientwind) Divergenz durch Beschleunigung im Jet

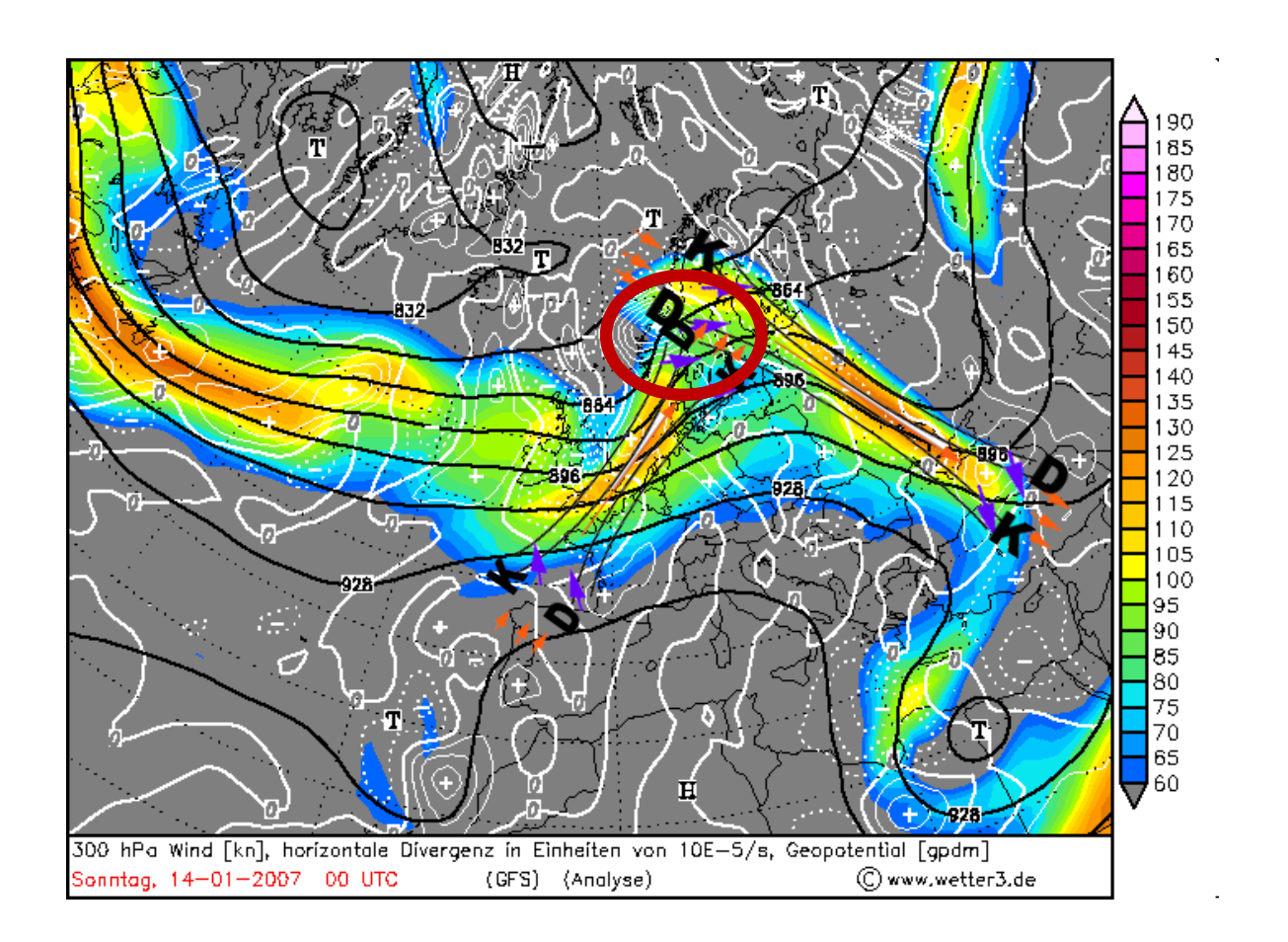


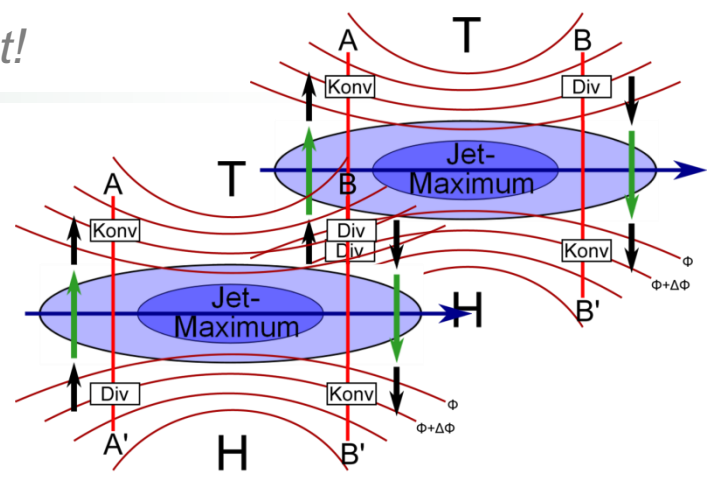
23.01.2023

#### nicht prüfungsrelevant!

#### **Multiple Jetsreaks**

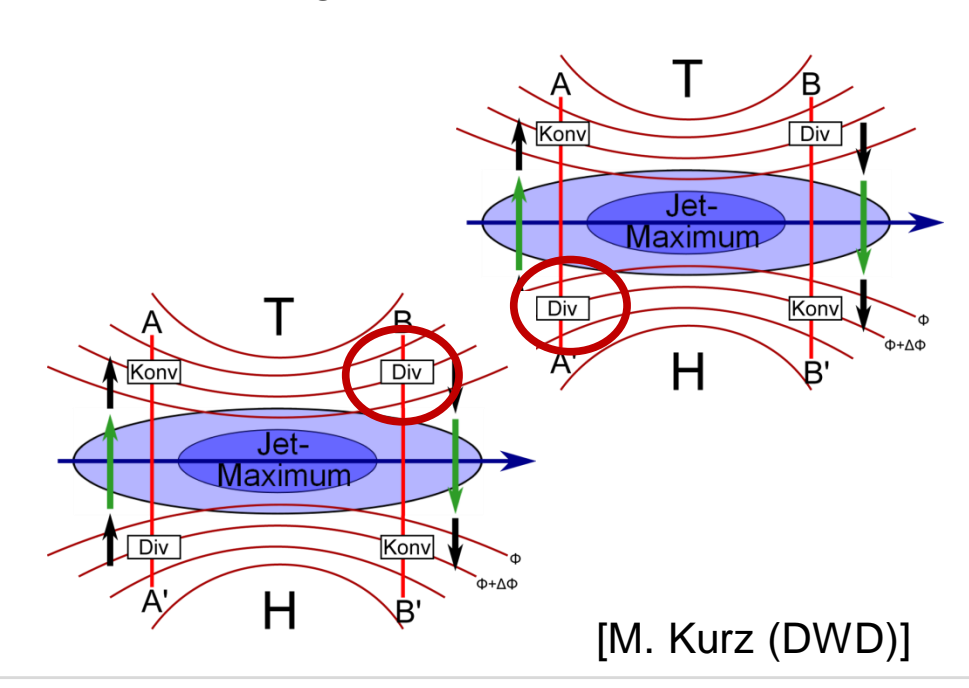
Überlagerung der Divergenzbereiche von zwei Jetstreams

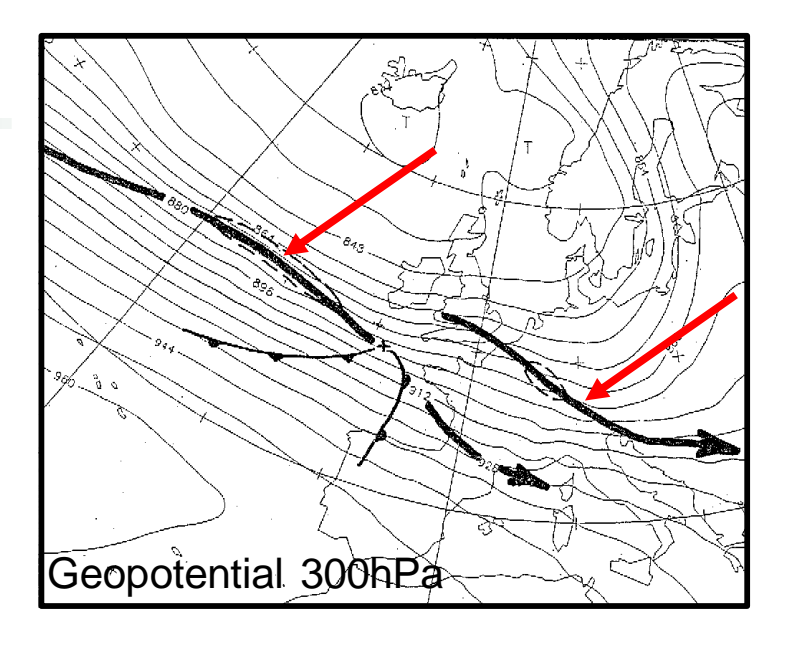


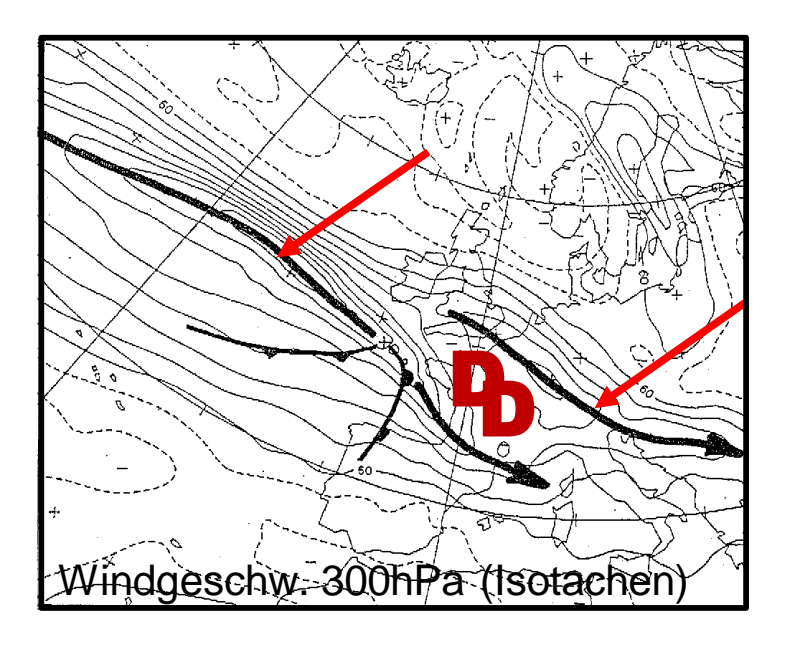


#### **Orkan Lothar**

- 26. Dezember, 00:00 UTC
  - Jetachse teilt sich
  - Bodentief gerät in Bereich des multiplen Jets der Höhenströmung
  - ⇒ Überlagerung Divergenzbereiche beider Jets
  - ⇒ explosive Entwicklung des Bodentiefs



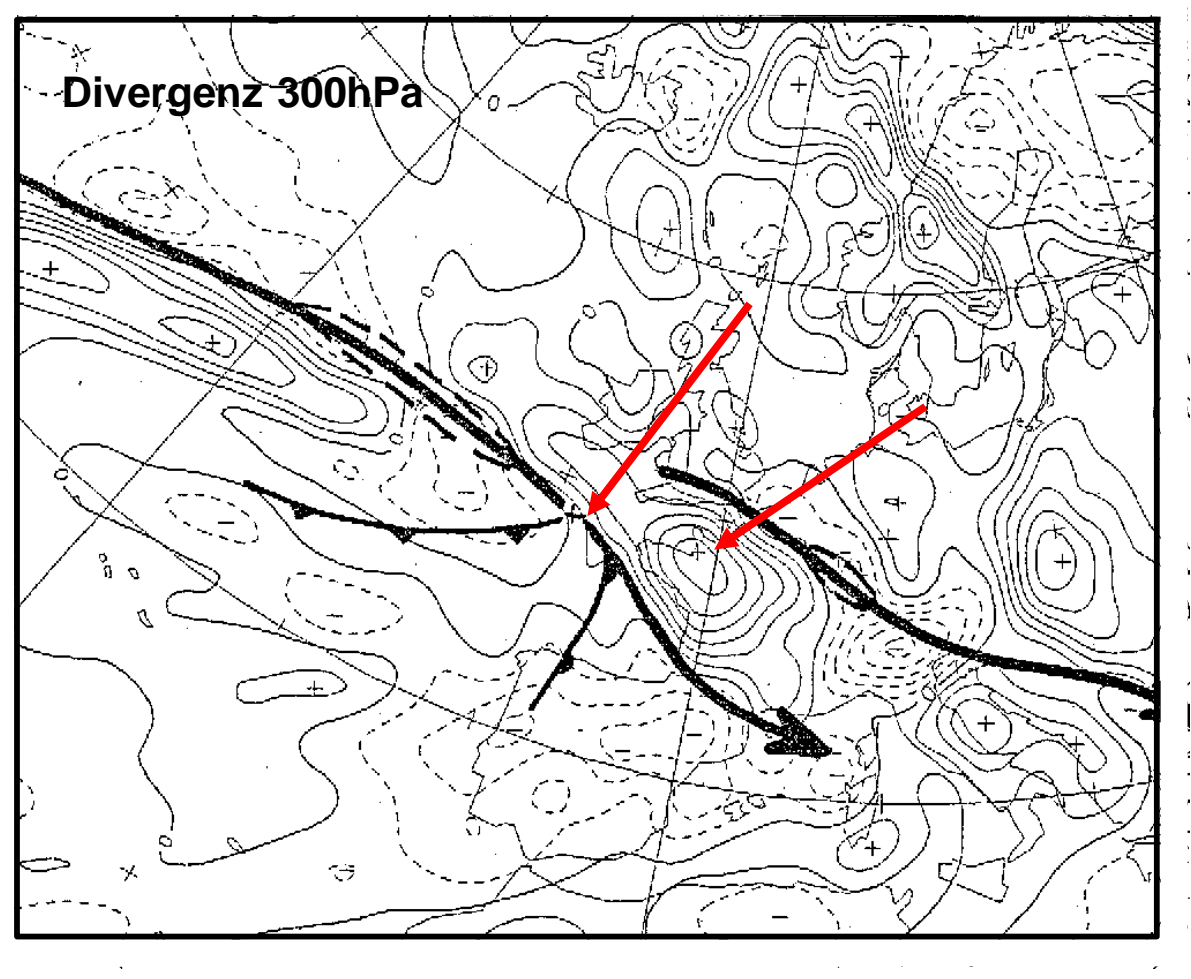




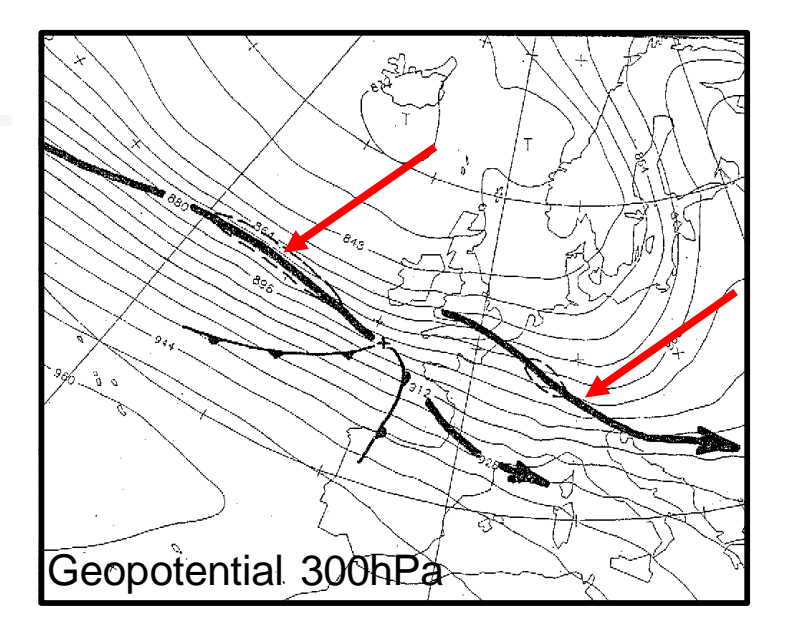


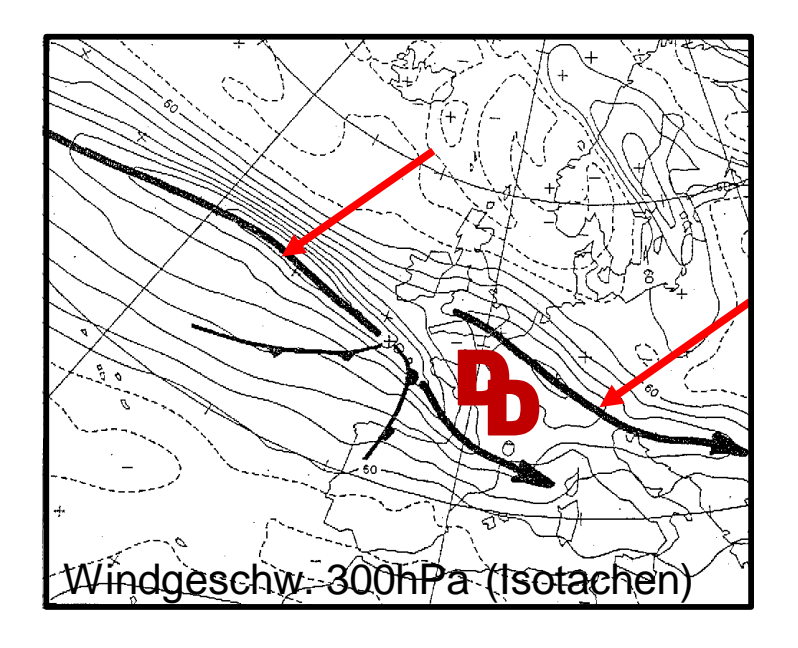
#### **Orkan Lothar**

■ 26. Dezember, 00:00 UTC



[M. Kurz (DWD)]

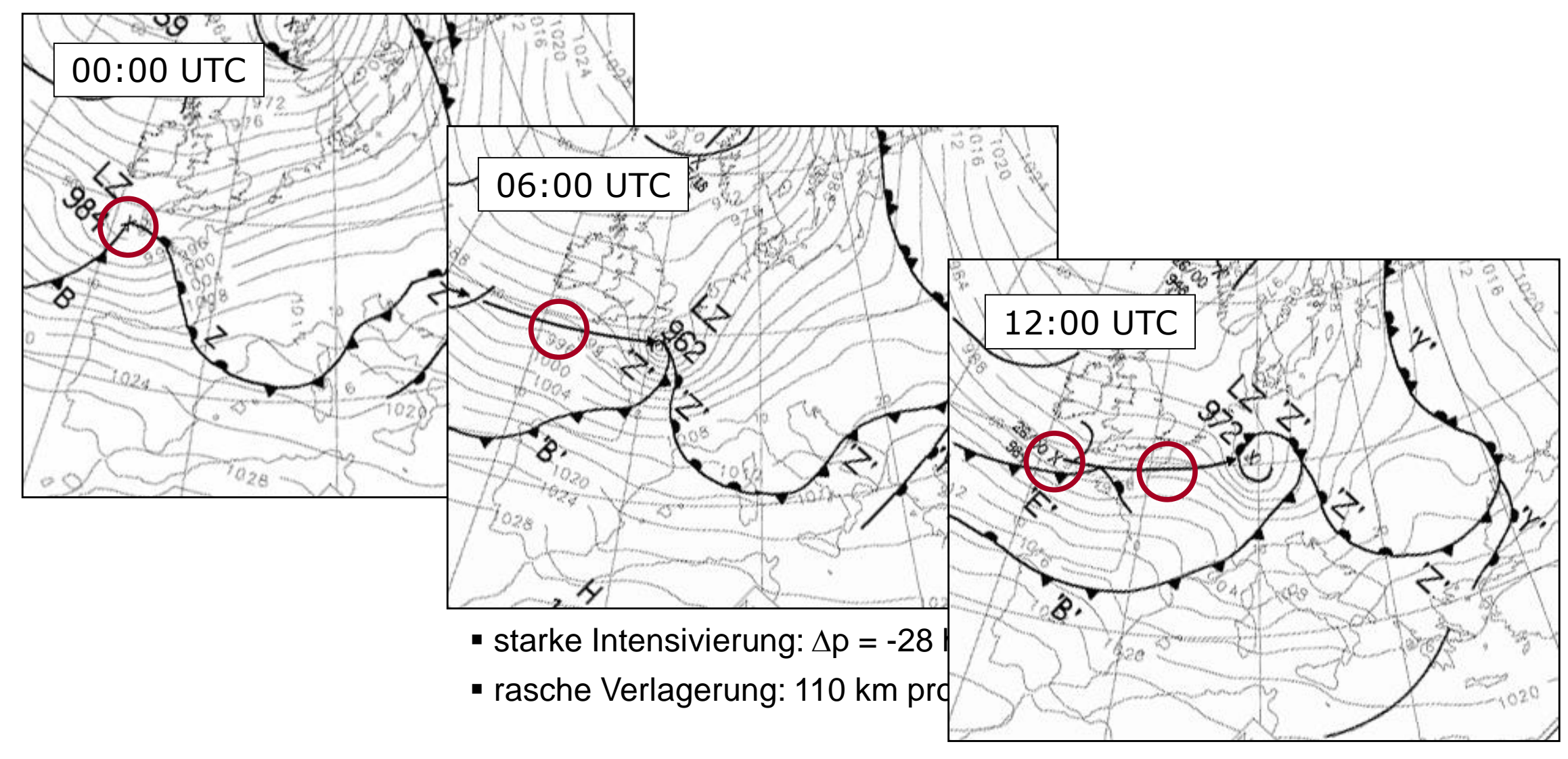






23.01.2023

## Orkantief Lothar 26.12.1999



 $\Delta p = +10 \text{ hPa}$ : Tief füllt sich bereits auf



## Orkantief Lothar 26.12.1999

- 110 Tote
- 10 Mrd € Schäden
- 2.4 Mio Einzelschäden
- KA: 151 km/h

Orly (Fr): 173 km/h

Feldberg: 212 km/h

Wendelstein: 259 km/h

 verhältnismäßig geringe räumliche Ausdehnung



Zugbahn des Tiefdruckzentrums



## Orkantief Lothar 26.12.1999



#### *i'lbung*

#### Gleichgewicht Druckgradientkraft + Corioliskraft + Zentrifugalkraft

zyklonal 
$$F_C + F_Z = F_D$$

$$fV + \frac{V^2}{R} = -\frac{1}{\rho} \frac{\partial p}{\partial n}$$

$$V = -\frac{Rf}{2} \pm \sqrt{\left(\frac{Rf}{2}\right)^2 - \frac{R}{\rho} \frac{\partial p}{\partial n}}$$

antizyklonal 
$$F_C - F_Z = F_D$$

$$fV - \frac{V^2}{R} = -\frac{1}{\rho} \frac{\partial p}{\partial n}$$

$$V = -\frac{Rf}{2} \pm \sqrt{\left(\frac{Rf}{2}\right)^2 - \frac{R}{\rho} \frac{\partial p}{\partial n}} \qquad V = -\frac{Rf}{2} \pm \sqrt{\left(\frac{Rf}{2}\right)^2 + \frac{R}{\rho} \frac{\partial p}{\partial n}}$$

- Da  $\frac{\partial p}{\partial n}$  < 0 folgt für **antizyklonalen** Strömungen
  - → damit bleibt Lösung reell

$$\left| \frac{\partial p}{\partial n} \right| \le \left| \frac{\rho R f^2}{4} \right|$$

- In Hochdruckgebieten kann der Druckgradient nicht beliebig groß werden
  - Daher: nur im Tief kann der Wind sehr hohe Geschwindigkeiten bis Orkanstärke erreichen

# 7.6 Skalenanalyse kleinräumiger Wettersysteme

#### Skalenanalyse lokal-skalige Wettersysteme und Phänomene; Bsp. Tornados







23.01.2023

#### 7.6 Skalenanalyse kleinräumiger Wettersysteme

Energie Gewilterereignisse ist Huftfouchtigtheit: nimmt mit Klimawandel zu! aber z. B. Aberaline Awzahl Belitze (entgegen Trena)

#### Größenordnungen der einzelnen Variablen in SI-Einheiten

Beispiel: Tornados

Met. Größe	Bezeichnung	Größenordnung	
Horizontalgeschwindigkeit	U, V	100 m s <sup>-1</sup>	
Vertikalgeschwindigkeit	W	10 m s <sup>-1</sup>	
Länge	L	10 <sup>3</sup> m	
Zeit	T = L/U	10 s	
Höhe	Н	$1 \text{ km} = 10^3 \text{ m}$	
Luftdruckänderung	ΔΡ	$10 \text{ hPa} = 10^3 \text{ Pa}$	
Bodendruck	$P_0$	10⁵ Pa	
Luftdichte	ρ	1 kg m <sup>-3</sup>	
Coriolisparameter	$f = 2 \Omega \sin \varphi$	10 <sup>-4</sup> s <sup>-1</sup>	
Reibungskraft pro ME	$a_{Rx}$ , $a_{Ry}$ , $a_{Rz}$	0 m s <sup>-2</sup>	

## 7.6 Skalenanalyse kleinräumiger Wettersysteme

Bewegungsgleichung Horizontalkomponente U/V

$$\frac{du}{dt} = -\frac{1}{\rho} \frac{\partial p}{\partial x} + 2\Omega v \sin \varphi - 2\Omega w \cos \varphi$$

$$\frac{U}{T}, \frac{V}{T}$$
  $\frac{1}{\rho} \frac{\Delta P}{L}$   $fU, fV$   $fW$ 

$$\frac{10^2}{10^1} = 10 \qquad \frac{10^3}{10^2} = 10 \qquad 10^{-2} \qquad 10^{-3} \quad \text{m s}^{-2}$$

Bez.	Größenord.
U, V	100 m s <sup>-1</sup>
W	10 m s <sup>-1</sup>
L	10 <sup>3</sup> m
T = L/U	10 s
Н	10 <sup>3</sup> m
ΔΡ	10 <sup>3</sup> Pa
$P_0$	10 <sup>4</sup> Pa
ρ	1 kg m <sup>-3</sup>
2Ω sin φ	10 <sup>-4</sup> s <sup>-1</sup>
$a_{Rx}, a_{Ry}, a_{Rz}$	0 m s <sup>-2</sup>

- Gleichgewicht Druckgradientkraft und Zentrifugalkraft (~ 1/Radius): zyklostrophisches Gleichgewicht
  - Beschleunigung in nat. Koordinaten:

$$\frac{d\vec{v}_h}{dt} = -\frac{V^2}{R}\vec{n}$$

 $\frac{V^2}{R} + \frac{1}{\rho} \frac{\partial p}{\partial n} = 0$ 

(Druckgrad)

Forme = Ft

R = Radius

 $\vec{n}$  = Normalenvektor in Richtung Rotationszentrum

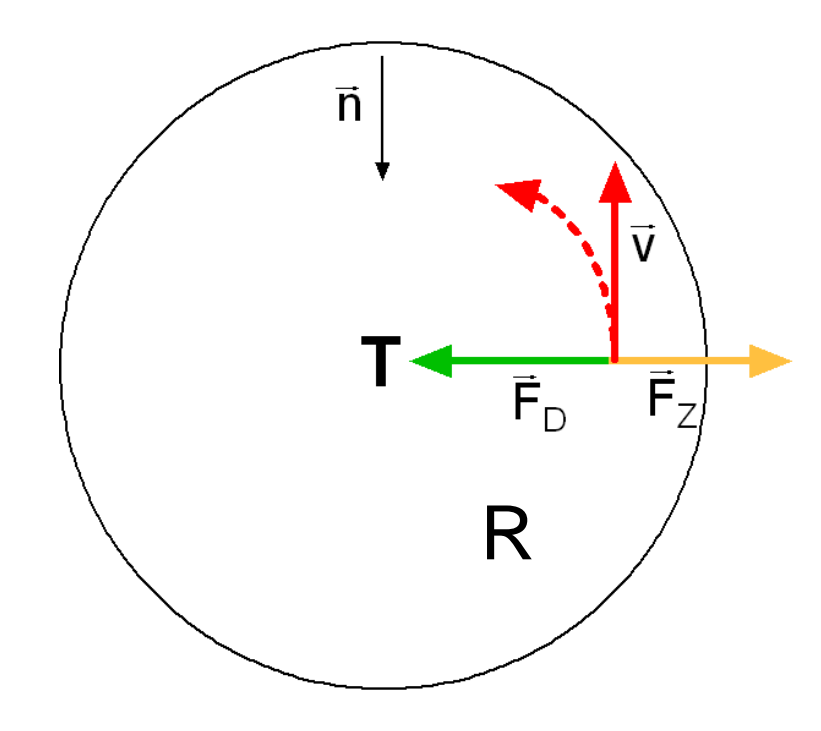
Robotion Drucknimin in tentrum

#### 7.6.1 Zyklostrophischer Wind

- Kleinräumige Strömungen: zyklostrophischer Wind
  - Gleichgewicht zwischen
    - Druckgradientkraft F<sub>D</sub>
    - Zentrifugalkraft F<sub>z</sub>
  - z.B. bei Tornados (oder Badewanne <sup>(2)</sup>)
  - Druckabnahme bei Rotation  $\Delta p = 1/2\rho V^2$  z.B. V = 100 m s<sup>-1</sup>:  $\Delta p$  = 50 hPa  $\sim$   $\sim$



$$\frac{V^2}{R} + \frac{1}{\rho} \frac{\partial p}{\partial n} = 0$$





## Zusammenfassung: Balancen aus Skalenanalyse

Skalenanalyse: Bestimmung der relevanten Terme in Abhängigkeit von ihrer Größenordnung (hier: Bewegungsgleichung)

- hydrostatische Approximation: abhängig vom Verhältnis D/L  $\frac{\partial p}{\partial z} = -\rho$ 

Beschle unigung/ Balance	Coriolis	Druck- gradient	Zentri- fugal	Besonderheiten	
geostro- phisch	Х	X	-	<ul> <li>beschleunigungsfrei</li> <li>geradlinige Isobaren</li> <li>v ~ Druckgradient</li> </ul>	$\begin{array}{c ccccccccccccccccccccccccccccccccccc$
Gradient -wind	X	X	Х	<ul><li>gekrümmte Isobaren</li><li>Unterschied in v zyklonal / antizyklonal</li></ul>	$p_{2}$ $p_{1}$ $p_{2}$ $p_{1}$ $p_{2}$ $p_{3}$ $p_{4}$ $p_{5}$ $p_{7}$ $p_{7}$ $p_{7}$ $p_{7}$ $p_{8}$ $p_{8}$
zyklostr ophisch	-	X	X	<ul><li>kleinräumig</li></ul>	T F <sub>D</sub> F <sub>Z</sub>

# Wir fassen zusammen...

- **Thermischer Wind**: Änderung geostrophischer Wind mit der Höhe; Änderung Windrichtung/– geschwindigkeit je nach Lage der Isothermen relativ zu den Isobaren; Kaltluft im Tief: Zunahme Windgeschwindigkeit mit der Höhe; Warmluftadvektion = **R**echtsdrehung, Kaltluftadvektion = **l**inksdrehend
- Starkwindband / Jetstream: Lage im Bereich eines hohen horizontalen Temperaturgradienten (z.B. Frontalzone)
- Gradientwind: Gleichgewicht Druckgradientkraft F<sub>D</sub> + Corioliskraft F<sub>C</sub> + Zentrifugalkraft F<sub>Z</sub>; Begrenzung Druckgradient im Hoch (nicht Tief)
- Bei gleichem Druckgradienten: höhere Geschwindigkeit im Hoch (supergeostrophisch) gegenüber Tief (subgeostrophisch)
- Folge für Höhenströmung (z.B. 300 hPa): **Divergenz** stromab von Trögen
   → Hebung und Druckfall (wenn Konvergenz am Boden geringer); **Konvergenz** stromauf → Absinken, Druckanstieg
- Zyklogenese (Druckfall) unterhalb divergenter Höhenströmung
- Kleinräumige Bewegungen (z.B. Tornados): Gleichgewicht zwischen Druckgradient- und (horizontaler) Zentrifugalbeschleunigung → zyklostrophisches Gleichgewicht